



Εισαγωγή στις Τηλεπικοινωνίες

Ζωνοπερατές Ψηφιακές Διαμορφώσεις

B-ASK, B-FSK

B-PSK, QPSK

Πιθανότητα Λάθους Εσφαλμένου Ψηφίου

Βέλτιστοι Δέκτες

Αστερισμοί

Αθανάσιος Δ. Παναγόπουλος
Καθηγητής ΕΜΠ



Εισαγωγή

Η ψηφιακή πληροφορία κωδικοποιείται σαν μεταβολή ενός ημιτονοειδούς σήματος που ονομάζεται ΦΕΡΟΝ ΣΗΜΑ- *carrier signal*.

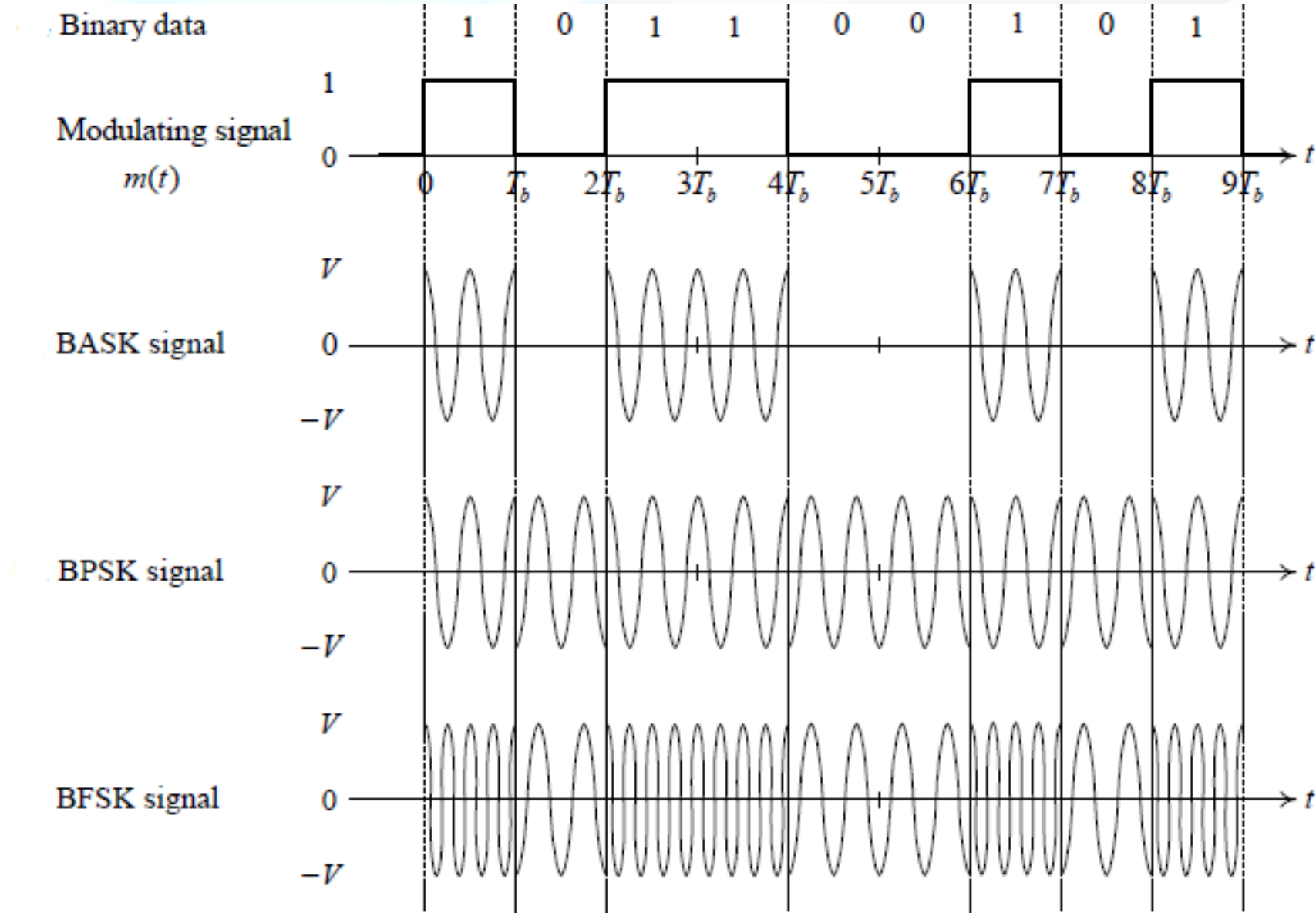
Όπως και στις αναλογικές επικοινωνίες η συχνότητα φέροντος είναι πολύ μεγαλύτερη από τα διαμορφούμενα σήματα.

Τα bits πληροφορίας διαμορφώνουν το

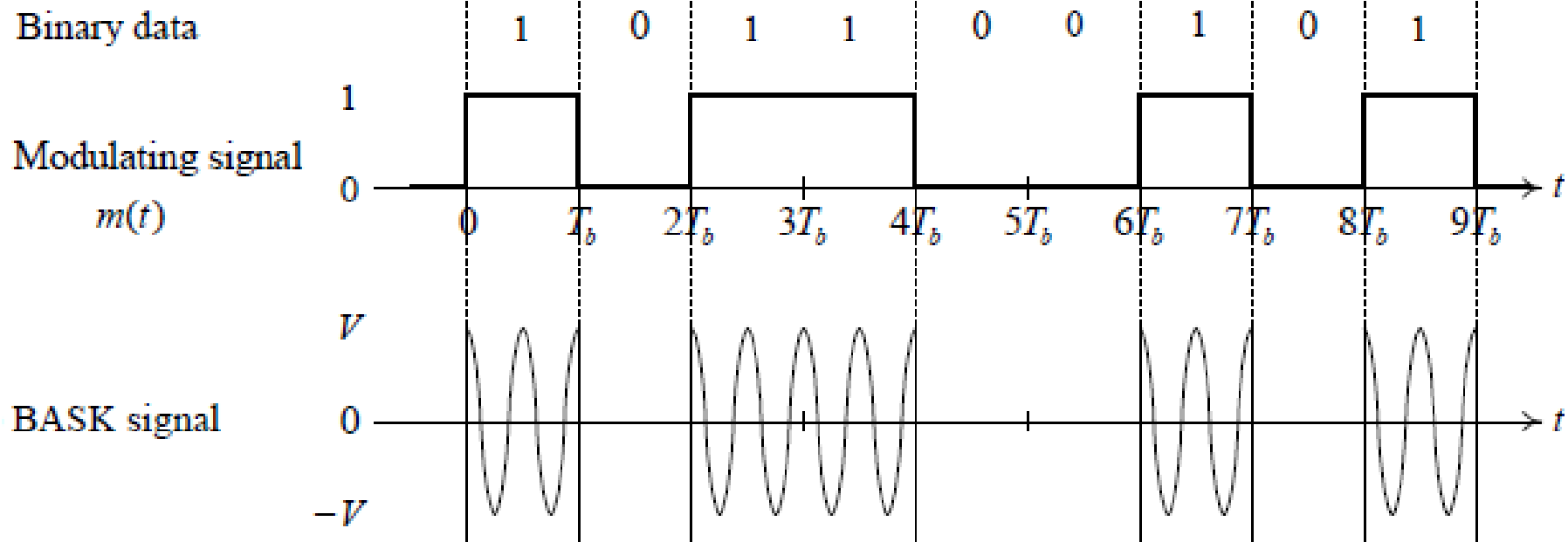
Πλάτος , Συχνότητα, Φάση του Ημιτονοειδούς Φέροντος.



Binary Passband Modulated Signals



BASK



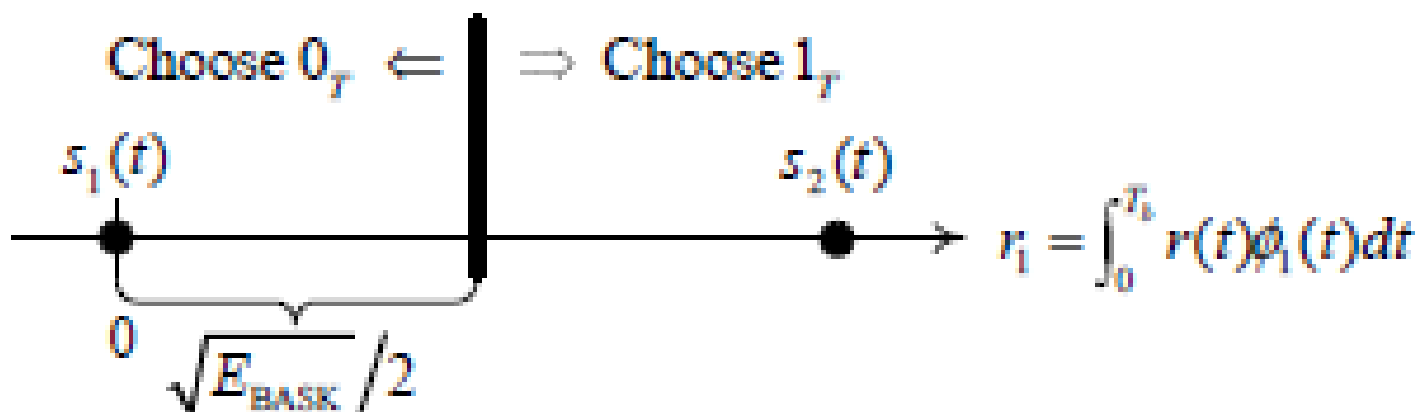
$$s(t) = m(t)c(t)$$

Όπου $m(t)$ είναι το διαμορφούμενο σήμα (σήμα βασικής ζώνης ένα NRZ σήμα)

$c(t) = V \cos(2\pi f_c t)$ το ημιτονοειδές carrier.



Binary Amplitude Shift Keying

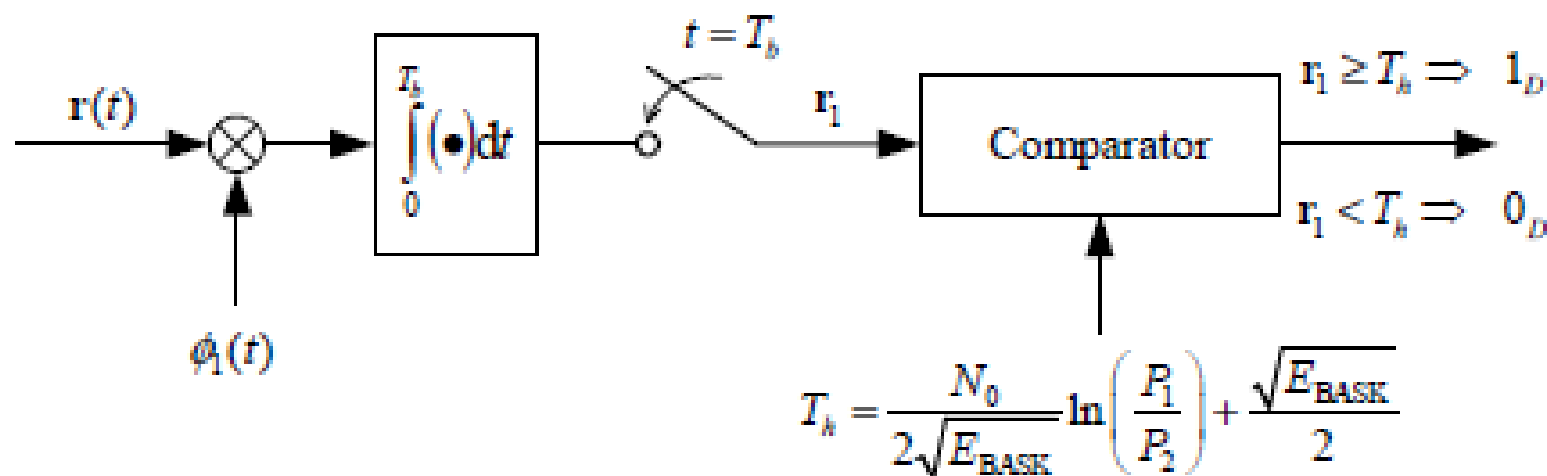
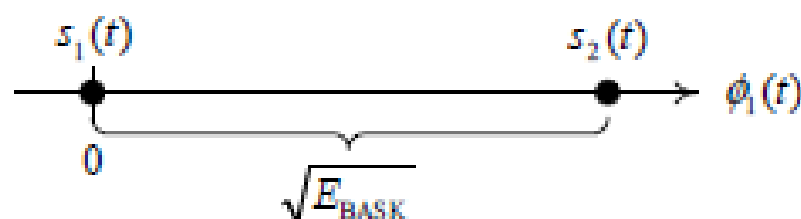


$$P[\text{error}] = Q \left(\frac{\text{απόσταση μεταξύ των σημάτων}}{2 \times \text{noise RMS value}} \right)$$

$$P[\text{error}]_{BASK} = Q \left(\sqrt{\frac{E_{BASK}}{2N_0}} \right)$$

Binary Amplitude Shift Keying

$$\begin{cases} s_1(t) = 0, & \text{"0}_T \\ s_2(t) = V \cos(2\pi f_c t), & \text{"1}_T \end{cases}, \quad 0 < t \leq T_b, \quad f_c = n/T_b$$



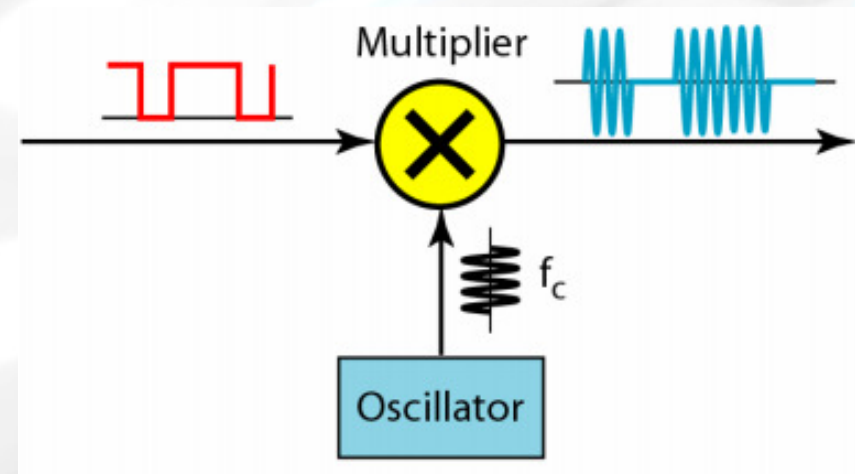
Binary Amplitude Shift Keying

Αποδιαμόρφωση: μόνο η παρουσία ή η απουσία του σε ένα χρονικό διάστημα χρειάζεται να καθοριστεί.

Πλεονέκτημα: απλότητα

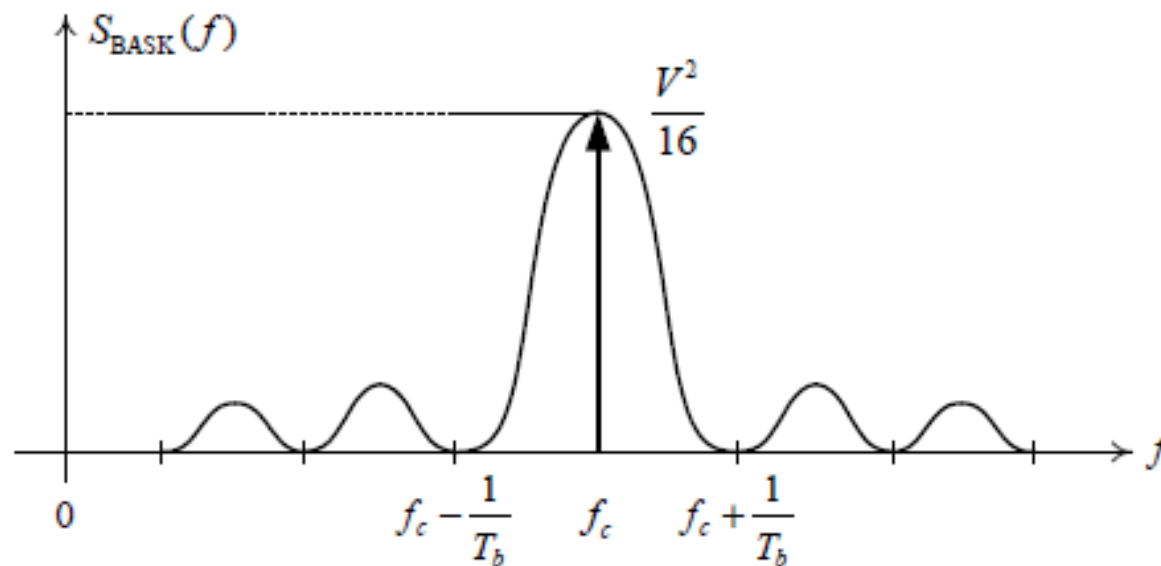
Μειονέκτημα: Η ASK είναι πολύ ευαίσθητη στην παρεμβολή/θόρυβο που συνήθως επηρεάζει το πλάτος. Για αυτό η Διαμόρφωση ASK επηρεάζεται πολύ από το θόρυβο.

Εφαρμογή: Η ASK χρησιμοποιείται για μετάδοση δυαδικών δεδομένων σε οπτικές ίνες.



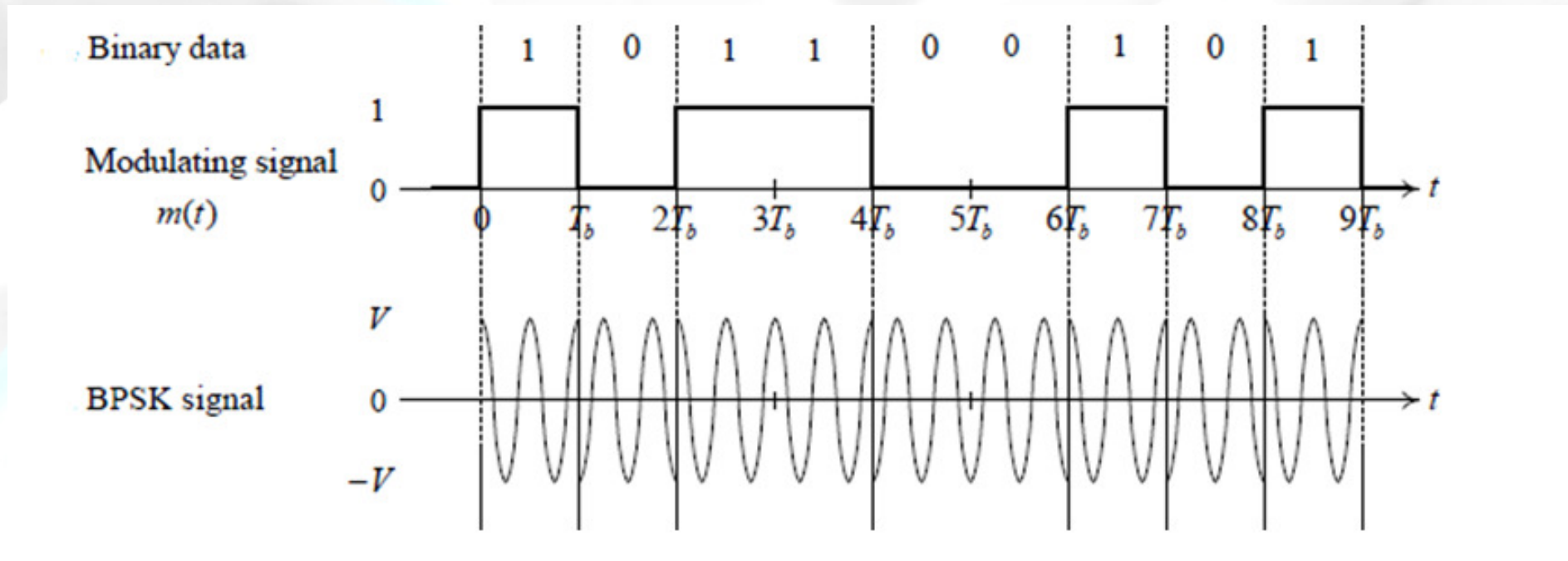
PSD BASK

$$S_{\text{BASK}}(f) = \frac{V^2}{16} \left[\delta(f - f_c) + \delta(f + f_c) + \frac{\sin^2[\pi T_b(f + f_c)]}{\pi^2 T_b(f + f_c)^2} + \frac{\sin^2[\pi T_b(f - f_c)]}{\pi^2 T_b(f - f_c)^2} \right].$$



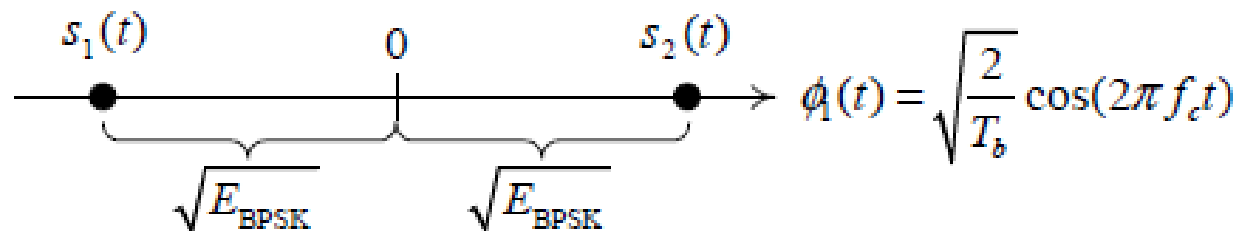
95% της συνολικής μεταδιδόμενης ισχύς βρίσκεται σε μια ζώνη γύρω από το $f_c \pm 3/T_b$ (Hz).

Binary Phase Shift Keying



BPSK

$$\begin{cases} s_1(t) = -V \cos(2\pi f_c t), & \text{if "0}_T\text{"} \\ s_2(t) = +V \cos(2\pi f_c t), & \text{if "1}_T\text{"} \end{cases}, \quad 0 < t \leq T_b,$$



$$P[\text{error}]_{\text{BPSK}} = Q\left(\sqrt{\frac{2E_{\text{BPSK}}}{N_0}}\right)$$

$$S_{\text{BPSK}}(f) = \frac{V^2}{4} \left[\frac{\sin^2[\pi(f - f_c)T_b]}{\pi^2(f - f_c)^2 T_b} + \frac{\sin^2[\pi(f + f_c)T_b]}{\pi^2(f + f_c)^2 T_b} \right]$$

BPSK

- **Αποδιαμόρφωση**: ο αποδιαμορφωτής πρέπει να καθορίσει τη φάση του ληφθέντος ημιτόνου σε σχέση με μια φάση αναφοράς.
- **Πλεονέκτημα**: γενικά οι PSK διαμορφώσεις είναι πιο ανεκτικές στα λάθη από τις ASK, αν και χρησιμοποιούν το ίδιο εύρος ζώνης. Υψηλότερος ρυθμός μετάδοσης είναι πιθανός σε σχέση με την FSK.
- **Μειονέκτημα**: Πιο πολύπλοκη φώραση σήματος/αναπαραγωγή φάσης σε σχέση με τις ASK & FSK

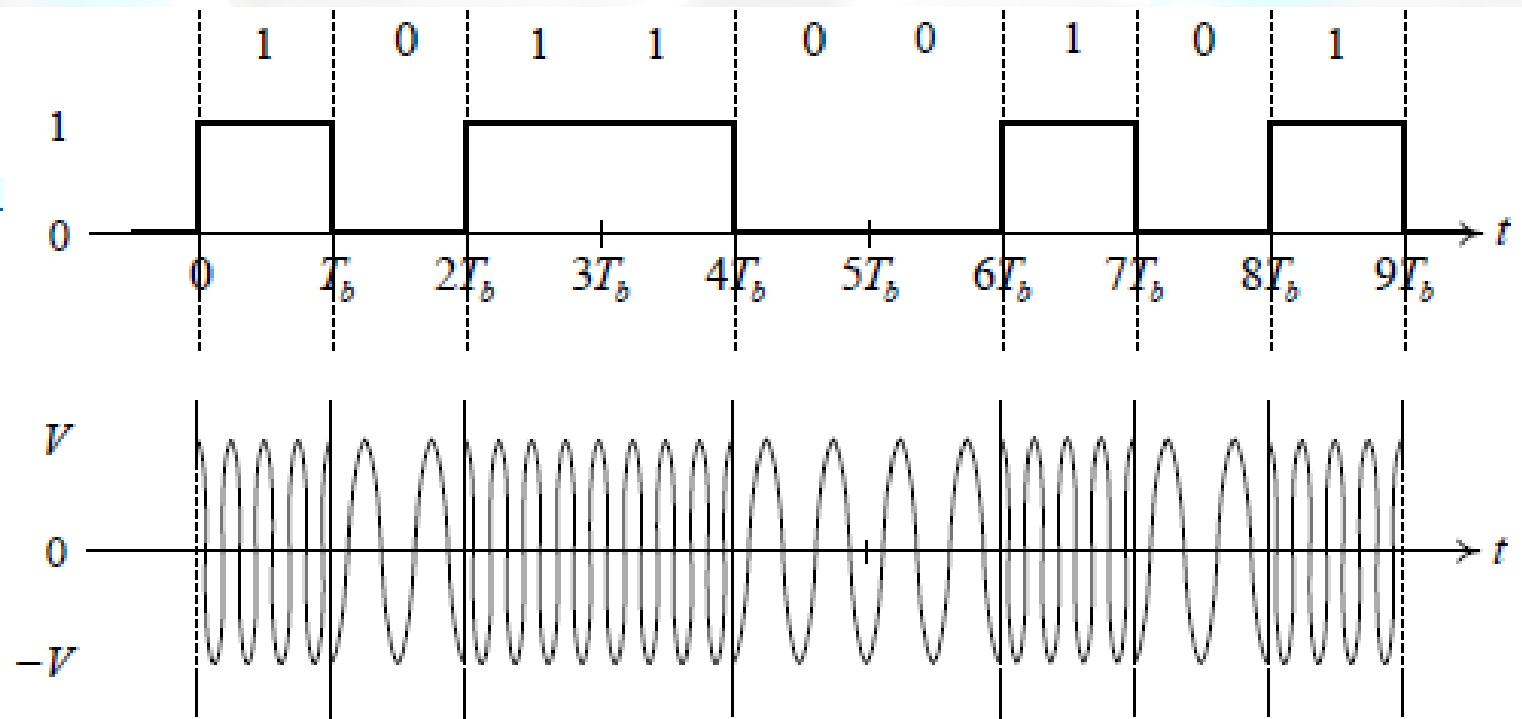


Binary Frequency Shift Keying

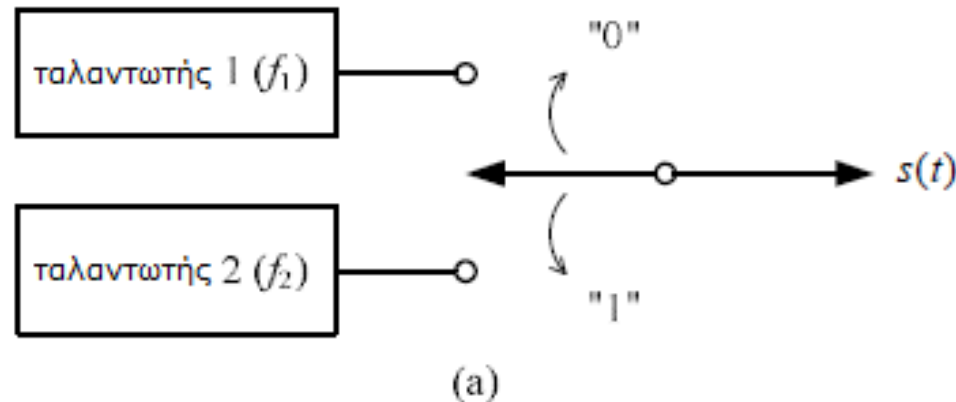
Binary data

Modulating signal
 $m(t)$

BFSK signal



Binary Frequency Shift Keying



$$\begin{cases} s_1(t) = V \cos(2\pi f_1 t + \theta_1), & \text{if "0}_T\text{"} \\ s_2(t) = V \cos(2\pi f_2 t + \theta_2), & \text{if "1}_T\text{"} \end{cases}, \quad 0 < t \leq T_b.$$

Ελάχιστη Συχνотική απόσταση για σύμφωνη Ορθογωνιότητα

$(\theta_1 = \theta_2)$

$$(\Delta f)_{\min}^{[\text{coherent}]} = \frac{1}{2T_b}.$$

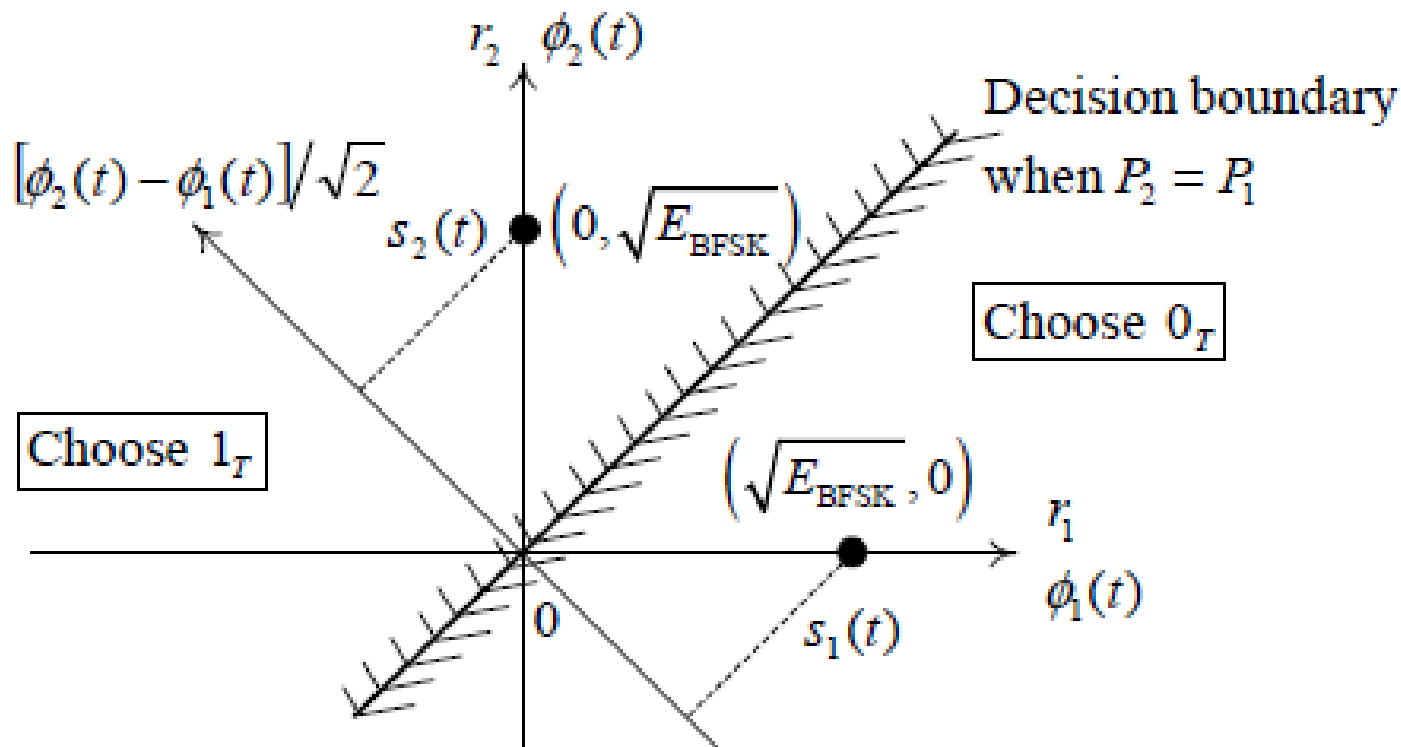
Ελάχιστη Συχνотική Απόσταση για μη σύμφωνη Ορθογωνιότητα

$(\theta_1 \neq \theta_2)$

$$(\Delta f)_{\min}^{[\text{noncoherent}]} = \frac{1}{T_b}.$$

Binary Frequency Shift Keying

$$\phi_1(t) = \frac{s_1(t)}{\sqrt{E_{\text{BFSK}}}}, \quad \phi_2(t) = \frac{s_2(t)}{\sqrt{E_{\text{BFSK}}}}.$$



$$P[\text{error}]_{\text{BFSK}} = Q\left(\sqrt{\frac{E_{\text{BFSK}}}{N_0}}\right)$$

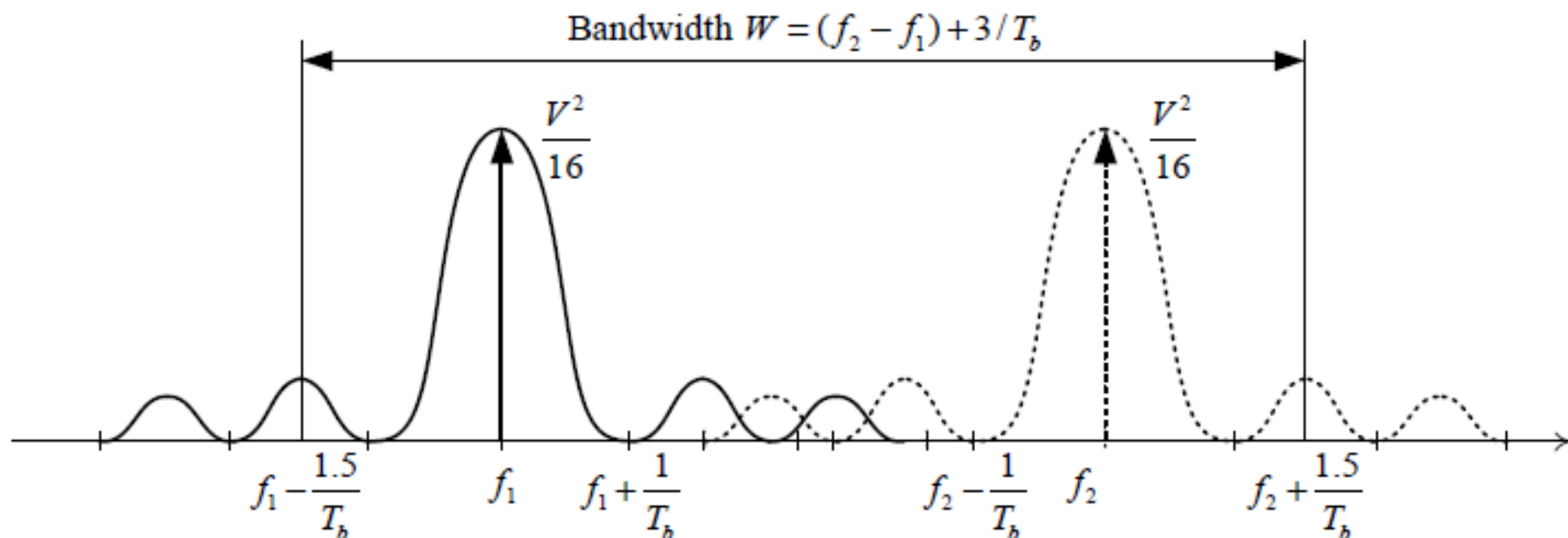
BFSK

- **Αποδιαμόρφωση**: ο αποδιαμορφωτής πρέπει να είναι ικανός να καθορίσει τις ποια από τις 2 πιθανές συχνότητες μεταδόθηκε σε συγκεκριμένο χρόνο.
- **Πλεονέκτημα**: η FSK είναι πιο αναισθητή στα λάθη σε σχέση με την ASK – Ο δέκτης ενδιαφέρεται για την αλλαγή της συχνότητας σε συγκεκριμένα διαστήματα άρα τα spikes της τάσης αγνοούνται.
- **Μειονέκτημα** : Το φάσμα της είναι 2πλάσιο του φάσματος ASK
- **Εφαρμογή**: σε γραμμές φωνής, σε point-to-point ζεύξεις υψηλών συχνοτήτων κ.α.



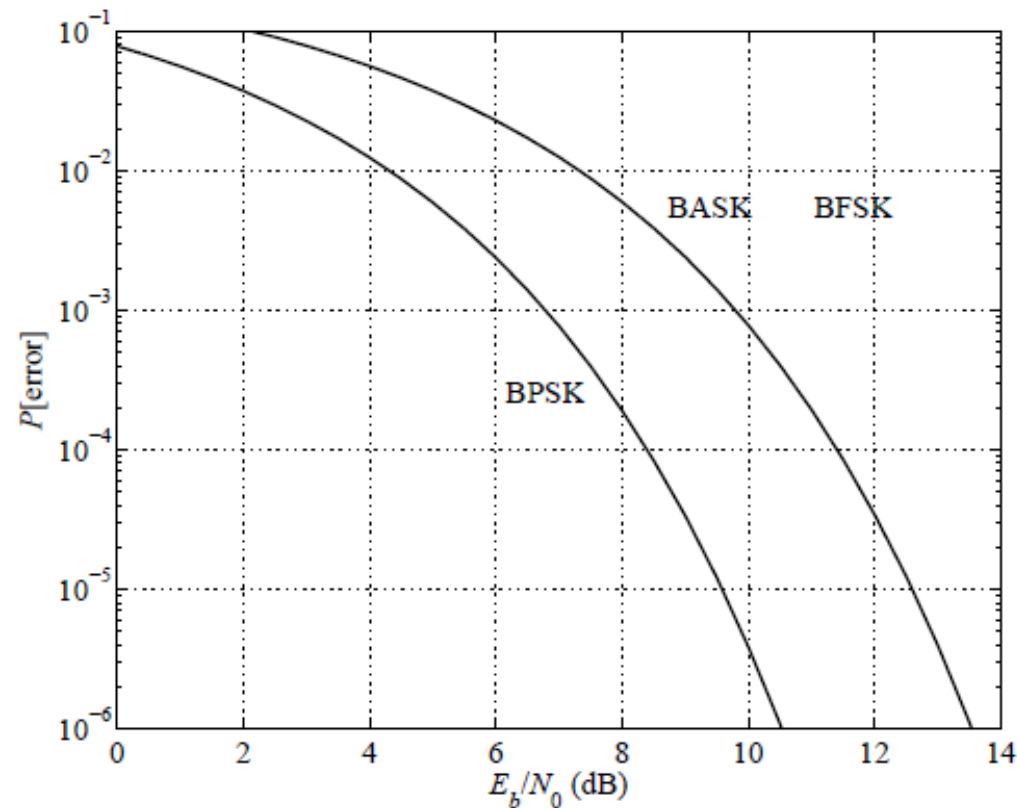
BFSK Power Spectral Density

$$S_{\text{BFSK}}(f) = \frac{V^2}{16} \left[\delta(f - f_2) + \delta(f + f_2) + \frac{\sin^2[\pi T_b(f + f_2)]}{\pi^2 T_b(f + f_2)^2} + \frac{\sin^2[\pi T_b(f - f_2)]}{\pi^2 T_b(f - f_2)^2} \right] \\ + \frac{V^2}{16} \left[\delta(f - f_1) + \delta(f + f_1) + \frac{\sin^2[\pi T_b(f + f_1)]}{\pi^2 T_b(f + f_1)^2} + \frac{\sin^2[\pi T_b(f - f_1)]}{\pi^2 T_b(f - f_1)^2} \right].$$



Σύγκριση Επίδοσης BASK, BPSK, BFSK

$$E_b = E_{\text{BPSK}}, E_b = E_{\text{BASK}}/2, E_b = E_{\text{BFSK}}$$



$$P[\text{error}]_{\text{BPSK}} = Q\left(\sqrt{\frac{2E_b}{N_0}}\right), P[\text{error}]_{\text{BASK}} = P[\text{error}]_{\text{BFSK}} = Q\left(\sqrt{\frac{E_b}{N_0}}\right).$$



Σύγκριση Επίδοσης

- BPSK είναι 3 dB πιο αποδοτική από την BFSK=BASK. Για την πιθανότητα λάθους.
- Σε όρους εύρους ζώνης BFSK καταλαμβάνεις μεγαλύτερο εύρος ζώνης από τις BPSK & BASK (εύρος ζώνης BPSK = BASK)
- Κάθε μία από τις 3 διαμορφώσεις έχει φάσμα το οποίο πέφτει με το $1/f^2$ για συχνότητες μακριά από τη φέρουσα.



Αστερισμός (Constellation)

Ένα σύνολο M διανυσμάτων (σημάτων) που ανήκουν σε ένα διανυσματικό χώρο ονομάζεται Αστερισμός.

Ιδιότητες:

1. Κάθε σήμα αναπαρίσταται σε ένα σημείο του αστερισμού και αντιστοιχεί σε μια διαφορετική κυματομορφή/σύμβολο. Όλες οι κυματομορφές ανήκουν στην ίδια ορθοκανονική βάση.
2. Μέση ενέργεια συμβόλου:

$$E_s = \sum_{i=1}^M \|s_i\|^2 \cdot P_r(s_i), \quad \|s_i\|^2 = \sum_{j=1}^N (s_{ij})^2 \quad P_r(s_i) = \text{πιθανότητα μετάδοσης συμβόλου}, s_{ij} = \text{συνιστώσα}$$

Η Ελαχιστοποίηση της E_s με σκοπό την Εξοικονόμηση Ενέργειας Εκπομπής απαιτεί την τοποθέτηση των σημείων κοντά στο 0.

Μικραίνουν οι Ευκλείδειες Αποστάσεις μεταξύ των Συμβόλων –

Αυξάνεται η Πιθανότητα Λάθους



I- Q αναπαράσταση

I – in phase συνιστώσα

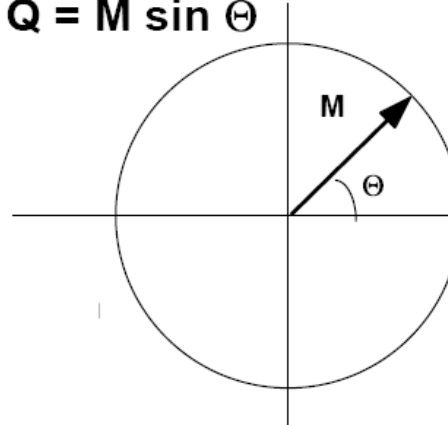
Q- quadrature συνιστώσα
(μετατοπισμένη κατά 90deg)

$$M = \sqrt{I^2 + Q^2} \text{ πλάτος σήματος / διάνυσματος}$$

$$\Theta = \tan^{-1}\left(\frac{I}{Q}\right) \text{ φάση σήματος}$$

Quadrature component

$$Q = M \sin \Theta$$

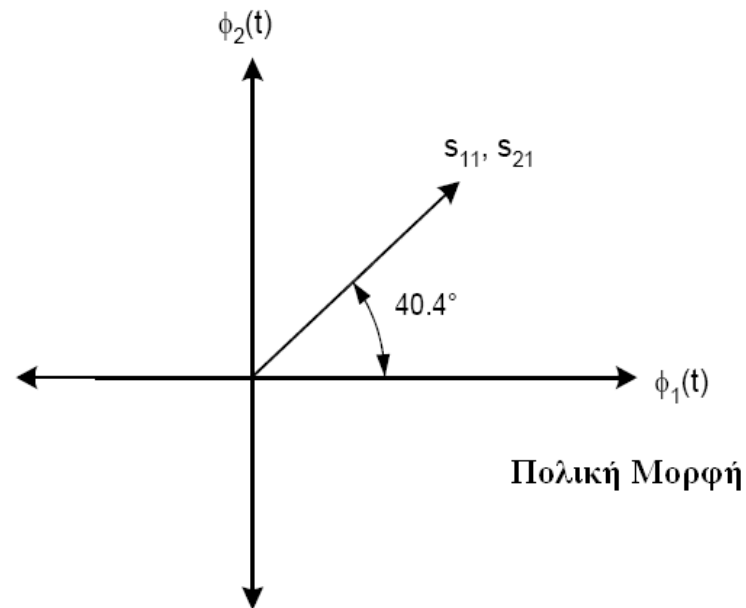
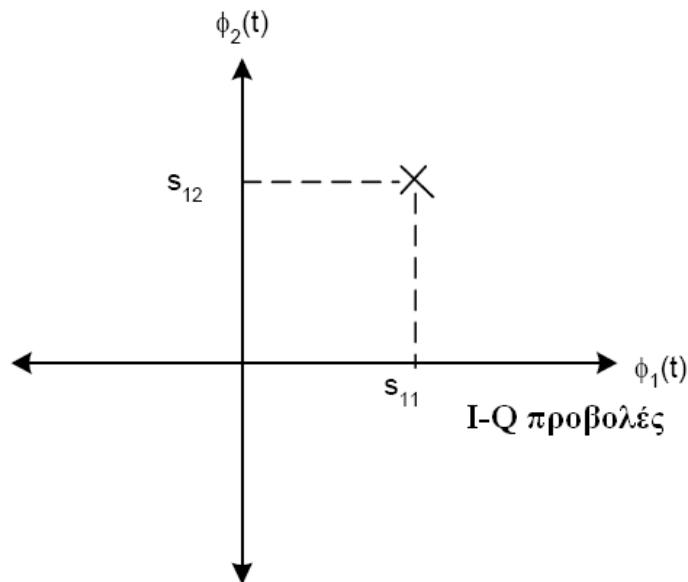


$M = \text{Πλάτος}$

$\Theta = \text{Φάση}$

$$I = M \cos \Theta$$

In-phase component



Quadrature Phase Shift Keying (QPSK)

Η βασική ιδέα πίσω από τη διαμόρφωση QPSK είναι ότι το $\cos(2\pi f_c t)$ και το $\sin(2\pi f_c t)$ είναι ορθογώνια στο διάστημα $[0, T_b]$ όταν $f_c = k/T_b$, k ακέραιος \Rightarrow

Τότε μπορούμε να μεταδώσουμε **Δύο Διαφορετικά** Bits στην ίδια μπάντα συχνοτήτων και στην ίδια χρονική στιγμή.

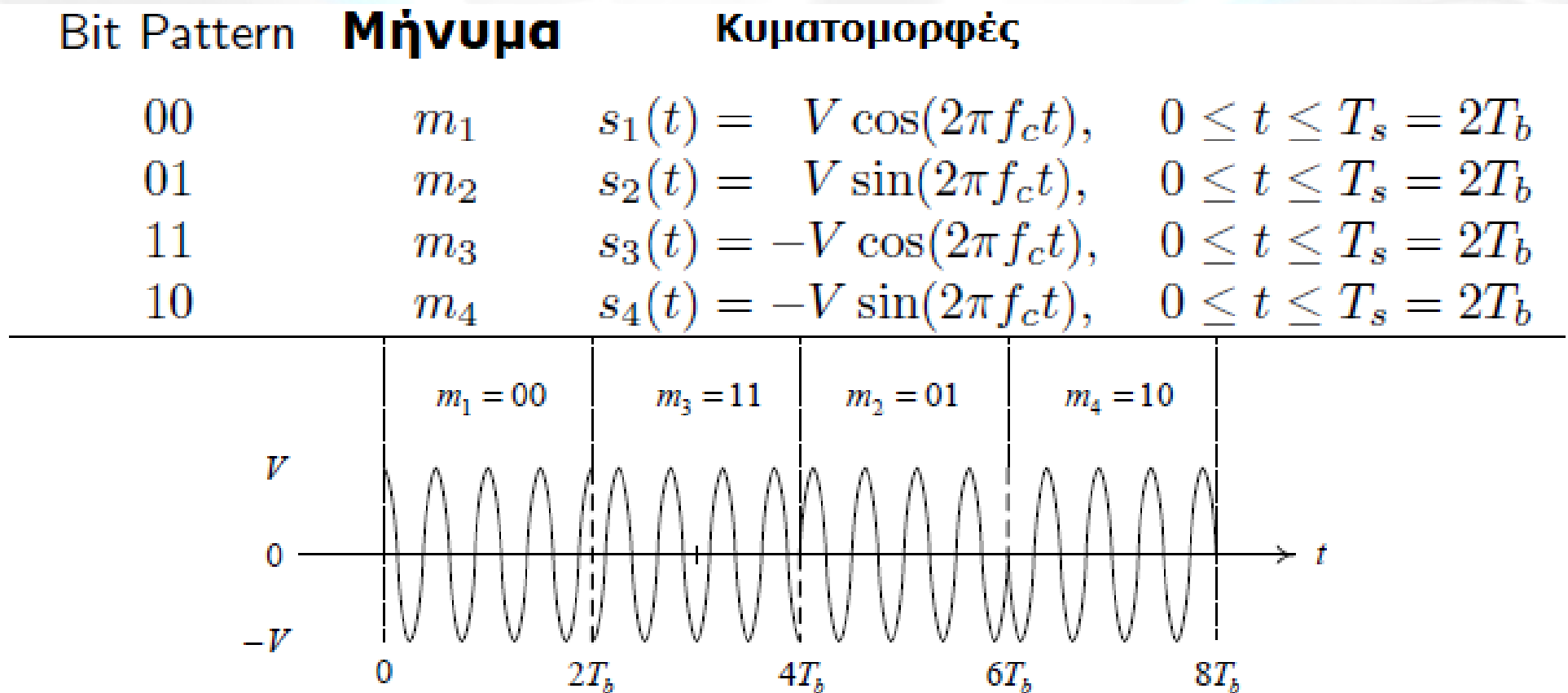
Ο ρυθμός σηματοδοσίας συμβόλων (δηλαδή ο ρυθμός συμβόλων - baud rate) είναι:

$R_s = 1/T_s = 1/(2T_b) = R_b/2$ (symbols/sec), δηλαδή πέφτει στο μισό.



Quadrature Phase Shift Keying (QPSK)

Ένα παράδειγμα της QPSK και η αντιστοίχιση μηνυμάτων με κυματομορφές φαίνεται παρακάτω;

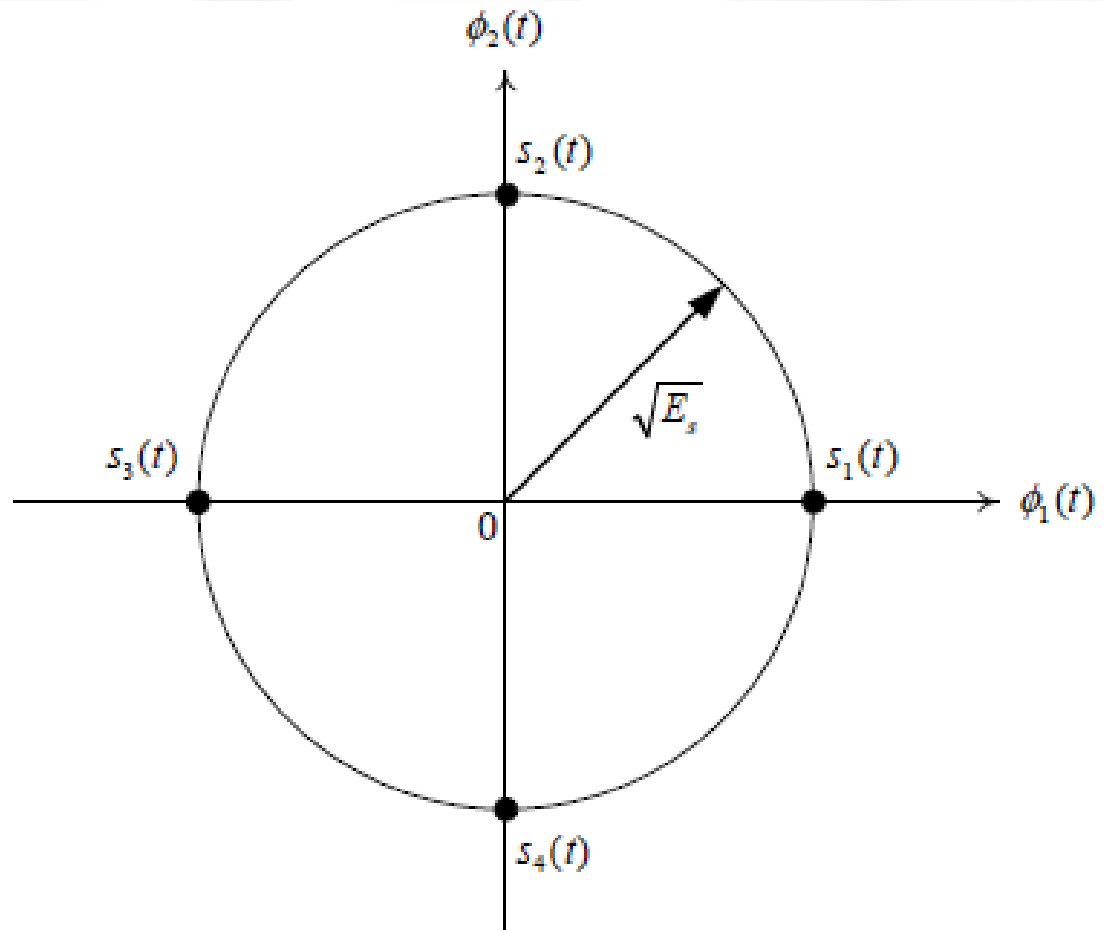


Quadrature Phase Shift Keying (QPSK)

Γεωμετρική Αναπαράσταση:

$$\int_0^{T_s} s_i^2(t) dt = \frac{V^2}{2} T_s = V^2 T_b = E_s,$$

$$\phi_1(t) = \frac{s_1(t)}{\sqrt{E_s}}, \quad \phi_2(t) = \frac{s_2(t)}{\sqrt{E_s}}.$$



Βέλτιστος Δέκτης QPSK

Στόχος μας είναι να σχεδιάσουμε δέκτη που να μας δίνει την ελάχιστη πιθανότητα λάθους στο δέκτη.

Εδώ δε θα έχουμε δέκτη που κάνει minimize το

Bit Error Probability

αλλά το κριτήριο θα είναι να γίνεται minimum το

Symbol (message) Error Probability



Βέλτιστος Δέκτης QPSK

Για να βρούμε το δέκτη που θα δίνει την ελάχιστη πιθανότητα λάθος πρέπει να αλλάξουμε τη γενική θεωρία που έχουμε ήδη δει.

Το κριτήριο τώρα είναι να ελαχιστοποιήσουμε την πιθανότητα συμβόλου.

Στην QPSK έχουμε 4 σύμβολα/μηνύματα/κυματομορφές

$$s_1(t), s_2(t), s_3(t), s_4(t)$$

Ο Βέλτιστος Δέκτης υλοποιείται με το να αναπτύξουμε το ληφθέν σήμα

$$\mathbf{r}(t) = s_i(t) + \mathbf{w}(t) \text{ στο χρονικό διάστημα } T_s$$

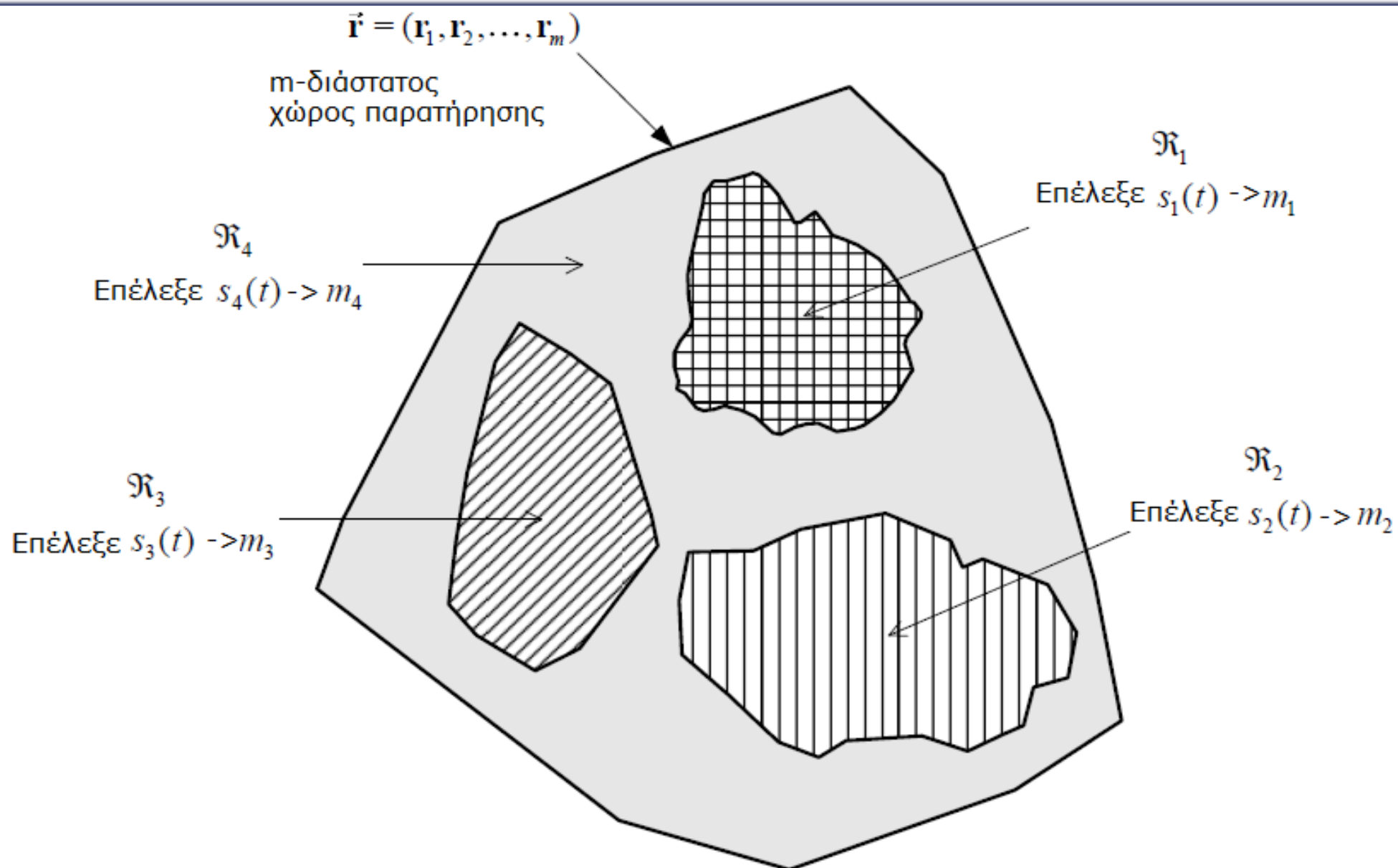
$$\mathbf{r}(t) = \mathbf{r}_1\varphi_1(t) + \mathbf{r}_2\varphi_2(t) + \mathbf{r}_3\varphi_3(t) + \dots$$

$\varphi_1(t)$ & $\varphi_2(t)$ προσδιορίζονται από το σύνολο των σημάτων

Ενώ οι $\varphi_i(t)$, $i > 2$ επιλέγονται για να συμπληρώσουμε το ορθοκανονικό σύνολο.



Βέλτιστος Δέκτης (QPSK)



Βέλτιστος Δέκτης QPSK

Από το να ελαχιστοποιήσω το λάθος είναι να μεγιστοποιήσω τη πιθανότητα να έχω σωστή απόφαση.

$$P[\text{correct}] = P[\vec{\mathbf{r}} \in \mathfrak{R}_1 | s_1(t)]P[s_1(t)] + P[\vec{\mathbf{r}} \in \mathfrak{R}_2 | s_2(t)]P[s_2(t)] \\ + P[\vec{\mathbf{r}} \in \mathfrak{R}_3 | s_3(t)]P[s_3(t)] + P[\vec{\mathbf{r}} \in \mathfrak{R}_4 | s_4(t)]P[s_4(t)]$$

όπου $\mathbf{r} = (\mathbf{r}_1, \mathbf{r}_2, \mathbf{r}_3, \dots, \mathbf{r}_m)$ & $P[\mathbf{r} \in \mathfrak{R}_i | s_i(t)]$ είναι η πιθανότητα ότι η παρατήρηση **\mathbf{r} πέφτει μέσα στην** i_{th} περιοχή όταν το σήμα $s_i(t)$ (ή το μήνυμα m_i) μεταδίδεται και $P[s_i(t)] \equiv P_i$ είναι η *a priori* πιθανότητα μετάδοσης του μηνύματος m_i .

$$P[\text{correct}] = \int_{\mathfrak{R}_1} P_1 f(\vec{r} | s_1(t)) d\vec{r} + \int_{\mathfrak{R}_2} P_2 f(\vec{r} | s_2(t)) d\vec{r} \\ + \int_{\mathfrak{R}_3} P_3 f(\vec{r} | s_3(t)) d\vec{r} + \int_{\mathfrak{R}_4} P_4 f(\vec{r} | s_4(t)) d\vec{r}.$$



Βέλτιστος Δέκτης QPSK

Η πιθανότητα ορθής απόφασης μεγιστοποιείται με τον ακόλουθο κανόνα απόφασης:

ανάθεση το διάνυσμα παρατήρησης $\mathbf{r} = (r_1, r_2, \dots, r_m)$ στον m -διάστατο χώρο σημάτων στην περιοχή που η ολοκληρωτέα ποσότητα $P_i f(\mathbf{r}|s_i(t))$ είναι η μέγιστη ή

Επέλεξε $s_i(t)$ εάν $P_i f(\vec{r}|s_i(t)) > P_j f(\vec{r}|s_j(t)) \quad j = 1, 2, 3, 4; \quad j \neq i.$

Αν $m \rightarrow \infty$, η υπό συνθήκη pdf για το i_{th} μήνυμα που μεταδίδεται μπορεί να γραφτεί:

$$f(\vec{r}|s_i(t)) = \frac{1}{\sqrt{\pi N_0}} \exp \left\{ -\frac{(r_1 - s_{i1})^2}{N_0} \right\} \frac{1}{\sqrt{\pi N_0}} \exp \left\{ -\frac{(r_2 - s_{i2})^2}{N_0} \right\} \\ \times \prod_{k=3}^{\infty} \frac{1}{\sqrt{\pi N_0}} \exp \left\{ -\frac{r_k^2}{N_0} \right\}.$$



Βέλτιστος Δέκτης QPSK

Ο κανόνας γίνεται:

$$\begin{aligned} &\text{επέλεξε } s_i(t) \text{ εάν} \\ &P_i f(r_1, r_2 | s_i(t)) > P_j f(r_1, r_2 | s_j(t)), \\ &j = 1, 2, 3, 4; j \neq i. \end{aligned}$$

$$P_j f(r_1, r_2 | s_j(t)) = P_j \frac{1}{\sqrt{\pi N_0}} \exp \left\{ -\frac{(r_1 - s_{j1})^2}{N_0} \right\} \frac{1}{\sqrt{\pi N_0}} \exp \left\{ -\frac{(r_2 - s_{j2})^2}{N_0} \right\}$$

$$\begin{aligned} &\text{επέλεξε } s_i(t) \text{ εάν} \\ &N_0 \ln P_i - (r_1 - s_{i1})^2 - (r_2 - s_{i2})^2 > \\ &N_0 \ln P_j - (r_1 - s_{j1})^2 - (r_2 - s_{j2})^2, \\ &j = 1, 2, 3, 4; j \neq i. \end{aligned}$$



Βέλτιστος Δέκτης QPSK

Συνεπώς:

$$\begin{aligned} & \text{επέλεξε } s_i(t) \text{ εάν} \\ & \frac{N_0}{2} \ln P_i + r_1 s_{i1} + r_2 s_{i2} - \frac{(s_{i1}^2 + s_{i2}^2)}{2} > \\ & \frac{N_0}{2} \ln P_j + r_1 s_{j1} + r_2 s_{j2} - \frac{(s_{j1}^2 + s_{j2}^2)}{2}, \\ & j = 1, 2, 3, 4; j \neq i. \end{aligned}$$

Θεωρώντας ότι τα σύμβολα έχουν την ίδια ενέργεια τότε:

$$\begin{aligned} & \text{επέλεξε } s_i(t) \text{ εάν} \\ & \frac{N_0}{2} \ln P_i + r_1 s_{i1} + r_2 s_{i2} > \frac{N_0}{2} \ln P_j + r_1 s_{j1} + r_2 s_{j2}, \\ & j = 1, 2, 3, 4; j \neq i. \end{aligned}$$

Όταν είναι ισοπίθανα $P_1 = P_2 = P_3 = P_4 = 0.25$, τότε ο κανόνας γίνεται:

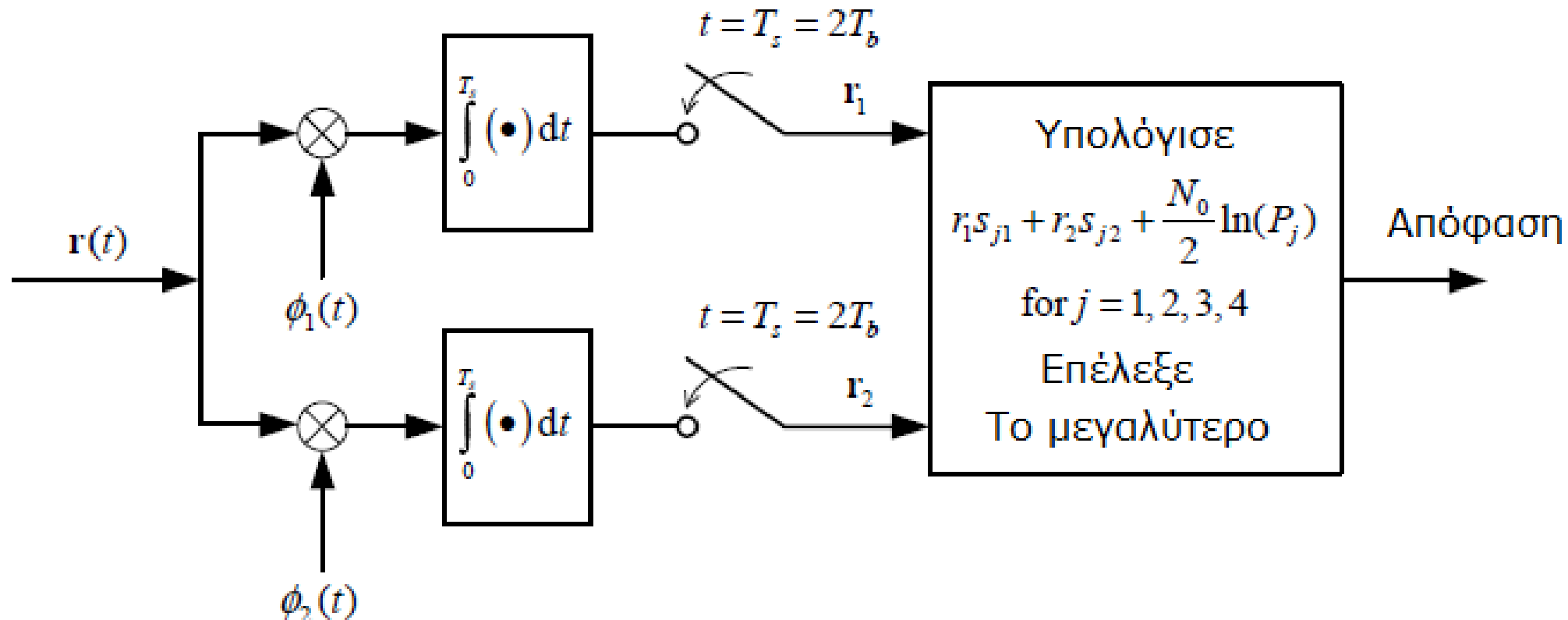
επέλεξε $s_i(t)$ εάν $(r_1 - s_{i1})^2 + (r_2 - s_{i2})^2$ είναι το μικρότερο

minimum-distance receiver



Βέλτιστος Δέκτης QPSK

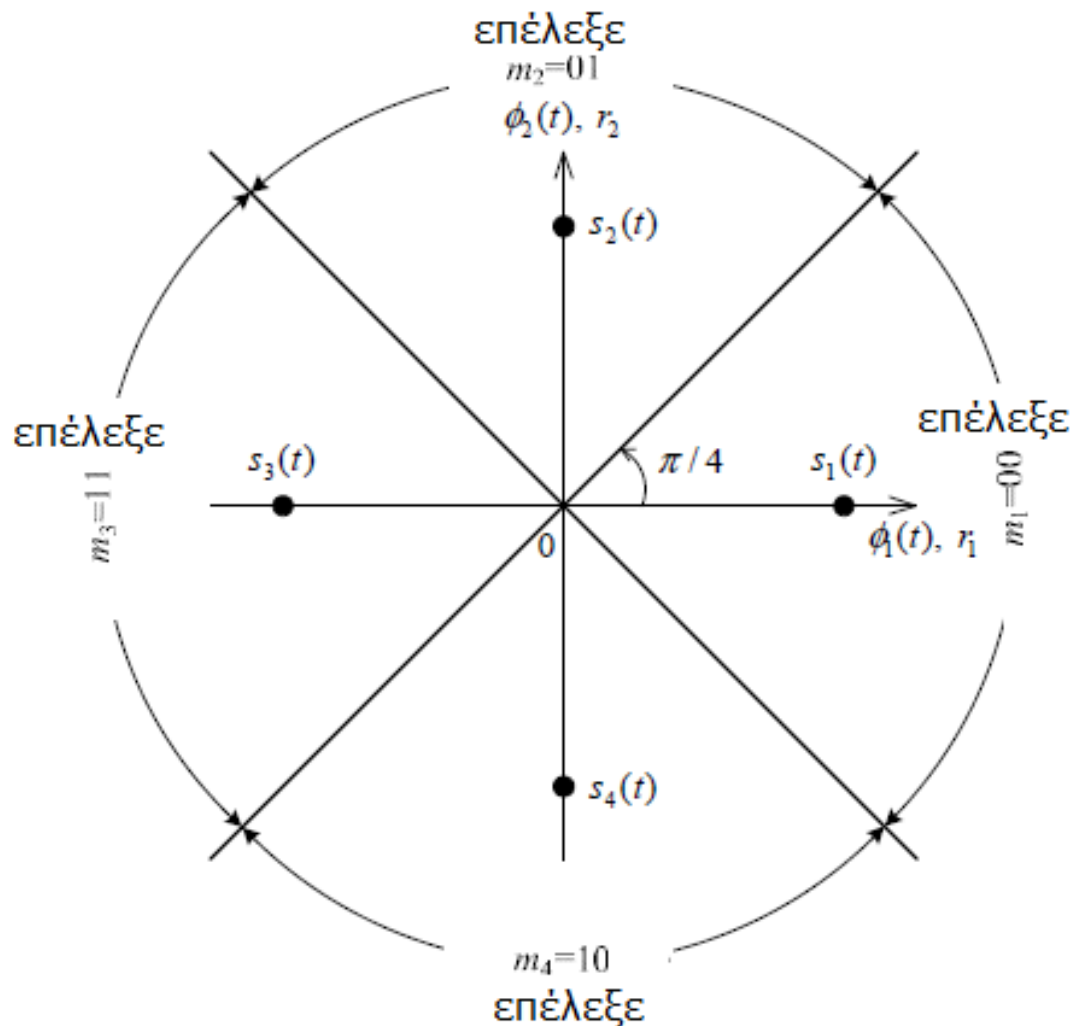
$$\begin{array}{l} \text{επέλεξε } s_i(t) \text{ εάν} \\ \frac{N_0}{2} \ln P_i + r_1 s_{i1} + r_2 s_{i2} > \frac{N_0}{2} \ln P_j + r_1 s_{j1} + r_2 s_{j2} \\ j = 1, 2, 3, 4; j \neq i. \end{array}$$



Βέλτιστος Δέκτης QPSK

Οι περιοχές απόφασης φαίνονται παρακάτω:

επέλεξε $s_i(t)$ εάν $(r_1 - s_{i1})^2 + (r_2 - s_{i2})^2$ είναι το μικρότερο



Βέλτιστος Δέκτης QPSK

Ο υπολογισμός του Symbol Error Probability για το δέκτη της ελάχιστης απόστασης καθορίζεται, μετά από μετασχηματισμούς και στροφή συντεταγμένων:

Λόγω Συμμετρίας και επειδή οι a priori πιθανότητες είναι γνωστές:

$$P[\text{error}] = P[\text{error}|s_i(t)] = 1 - P[\text{correct}|s_i(t)].$$

$$\vartheta = \pi/4, \quad \begin{bmatrix} \hat{r}_1 \\ \hat{r}_2 \end{bmatrix} = \begin{bmatrix} \cos \theta & \sin \theta \\ -\sin \theta & \cos \theta \end{bmatrix} \begin{bmatrix} r_1 \\ r_2 \end{bmatrix}.$$

\hat{r}_1, \hat{r}_2

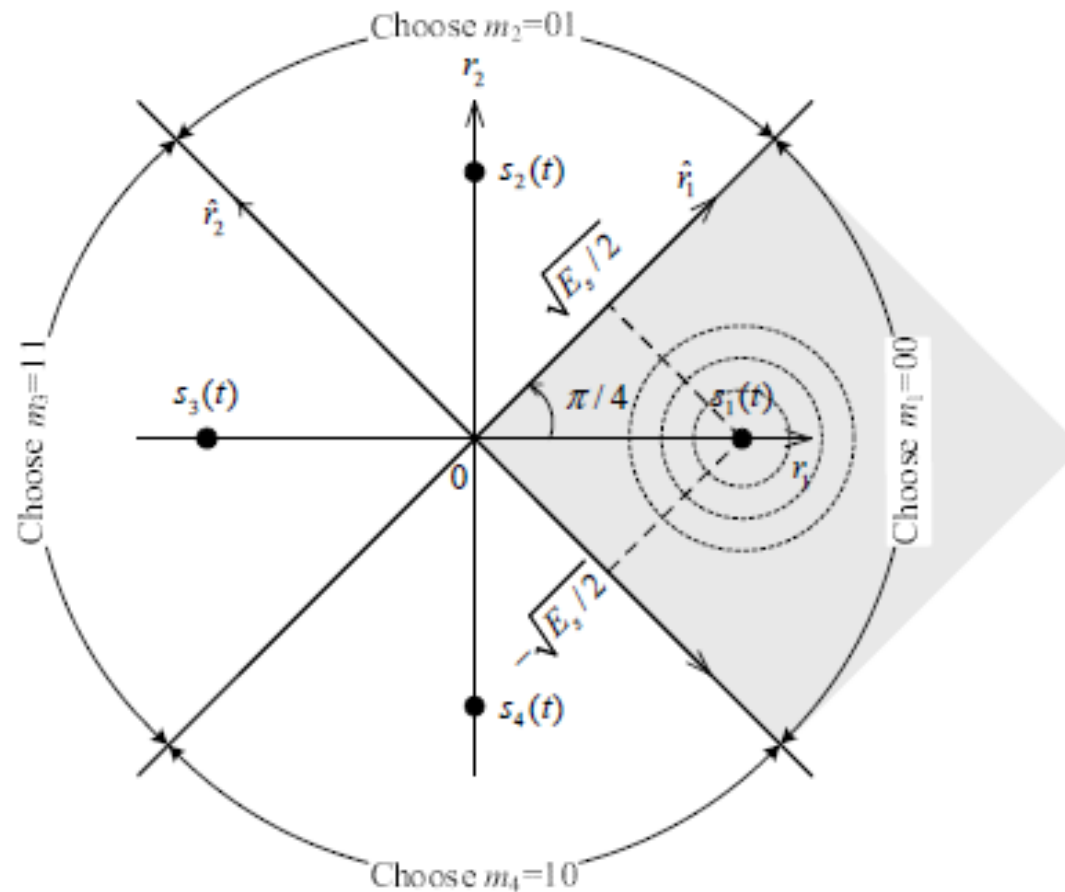
Στατιστικά ανεξάρτητα, Gaussian τυχαίες μεταβλητές με απόκλιση $N_0/2$ και μέσες τιμές :

$$(\sqrt{E_s/2}, -\sqrt{E_s/2})$$

$$f(\hat{r}_1, \hat{r}_2|s_1(t)) = f(\hat{r}_1|s_1(t)) \cdot f(\hat{r}_2|s_1(t))$$



Βέλτιστος Δέκτης QPSK



$$P[\text{error}] = P[\text{error}|s_i(t)] = 1 - P[\text{correct}|s_i(t)] = 1 - \left[1 - Q\left(\sqrt{\frac{E_s}{N_0}}\right) \right]^2.$$

SER QPSK Approximation

Βέλτιστος Δέκτης (QPSK)

$$\begin{aligned} P_{\text{error}} &= P[\text{error} | \text{sift}] = 1 - P[\text{correct} | \text{sift}] = \\ &= 1 - \left[1 - Q\left(\sqrt{\frac{E_s}{N_0}}\right) \right]^2 \end{aligned}$$

$x \ll 1$

$$(1-x)^2 \approx 1-2x$$

$$P_{\text{error}} = 1 - (1 - 2x) \approx 2 Q\left(\sqrt{\frac{E_s}{N_0}}\right)$$

Βέλτιστος Δέκτης QPSK/Bit Error Probability

$$m_1(00) \Rightarrow m_2(01)$$

$$m_1(00) \Rightarrow m_3(11)$$

$$m_1(00) \Rightarrow m_4(10)$$

$$P[m_2|m_1] = Q\left(\sqrt{\frac{E_s}{N_0}}\right) \left[1 - Q\left(\sqrt{\frac{E_s}{N_0}}\right)\right],$$

$$P[m_3|m_1] = Q^2\left(\sqrt{\frac{E_s}{N_0}}\right),$$

$$P[m_4|m_1] = Q\left(\sqrt{\frac{E_s}{N_0}}\right) \left[1 - Q\left(\sqrt{\frac{E_s}{N_0}}\right)\right].$$

$$\begin{aligned} P[\text{bit error}] &= 0.5P[m_2|m_1] + 0.5P[m_4|m_1] + 1.0P[m_3|m_1] \\ &= Q\left(\sqrt{\frac{E_s}{N_0}}\right), \end{aligned}$$

Τα σήματα που είναι πιο κοντά μεταξύ τους πιο κοντινοί γείτονες παριστάνονται με τέτοιο τρόπο που διαφέρουν κατά ένα bit.

Αυτό λέγεται *Gray Απεικόνιση σε Αστερισμό (Gray Mapping)*.



QPSK- Βέλτιστος Δέκτης/BER

Υπολογισμός της πιθανότητας $P(m_2|m_1)$:

$$f(\hat{r}_2, \hat{r}_1|m_1)$$

Στατιστικά ανεξάρτητες
Gaussian τυχαίες μεταβλητές

Τυπική απόκλιση θορύβου:

$$\frac{N_0}{2}$$

μέσες τιμές:

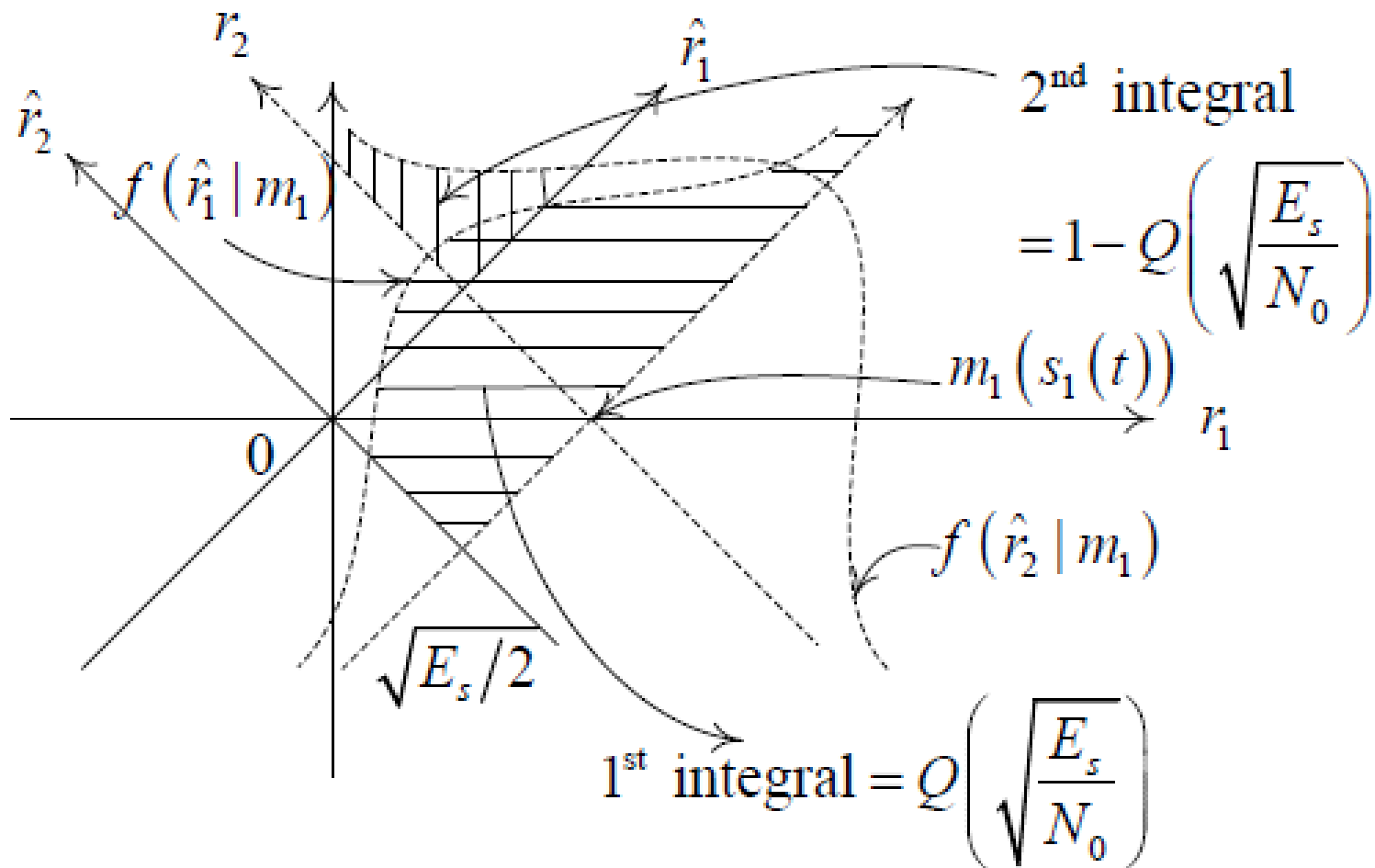
$$-\sqrt{\frac{E_s}{2}}, \sqrt{\frac{E_s}{2}}$$

$$\int_{\hat{r}_2=0}^{\infty} \int_{\hat{r}_1=0}^{\infty} f(\hat{r}_2|m_1) f(\hat{r}_1|m_1) d\hat{r}_2 d\hat{r}_1 = \left[\int_{\hat{r}_2=0}^{\infty} f(\hat{r}_2|m_1) d\hat{r}_2 \right] \left[\int_{\hat{r}_1=0}^{\infty} f(\hat{r}_1|m_1) d\hat{r}_1 \right]$$

$$\begin{aligned} P[m_2|m_1] &= \left[\frac{1}{\sqrt{2\pi}\sqrt{\frac{N_0}{2}}} \int_{\hat{r}_2=0}^{\infty} e^{-\frac{(\hat{r}_2 + \sqrt{\frac{E_s}{2}})^2}{2(\frac{N_0}{2})}} d\hat{r}_2 \right] \left[\frac{1}{\sqrt{2\pi}\sqrt{\frac{N_0}{2}}} \int_{\hat{r}_1=0}^{\infty} e^{-\frac{(\hat{r}_1 + \sqrt{\frac{E_s}{2}})^2}{2(\frac{N_0}{2})}} d\hat{r}_1 \right] \\ &= \left[1 - Q\left(\frac{\sqrt{E_s/2}}{N_0/2}\right) \right] Q\left(\frac{\sqrt{E_s/2}}{N_0/2}\right) = \left[1 - Q\left(\sqrt{\frac{E_s}{N_0}}\right) \right] Q\left(\sqrt{\frac{E_s}{N_0}}\right) \end{aligned}$$



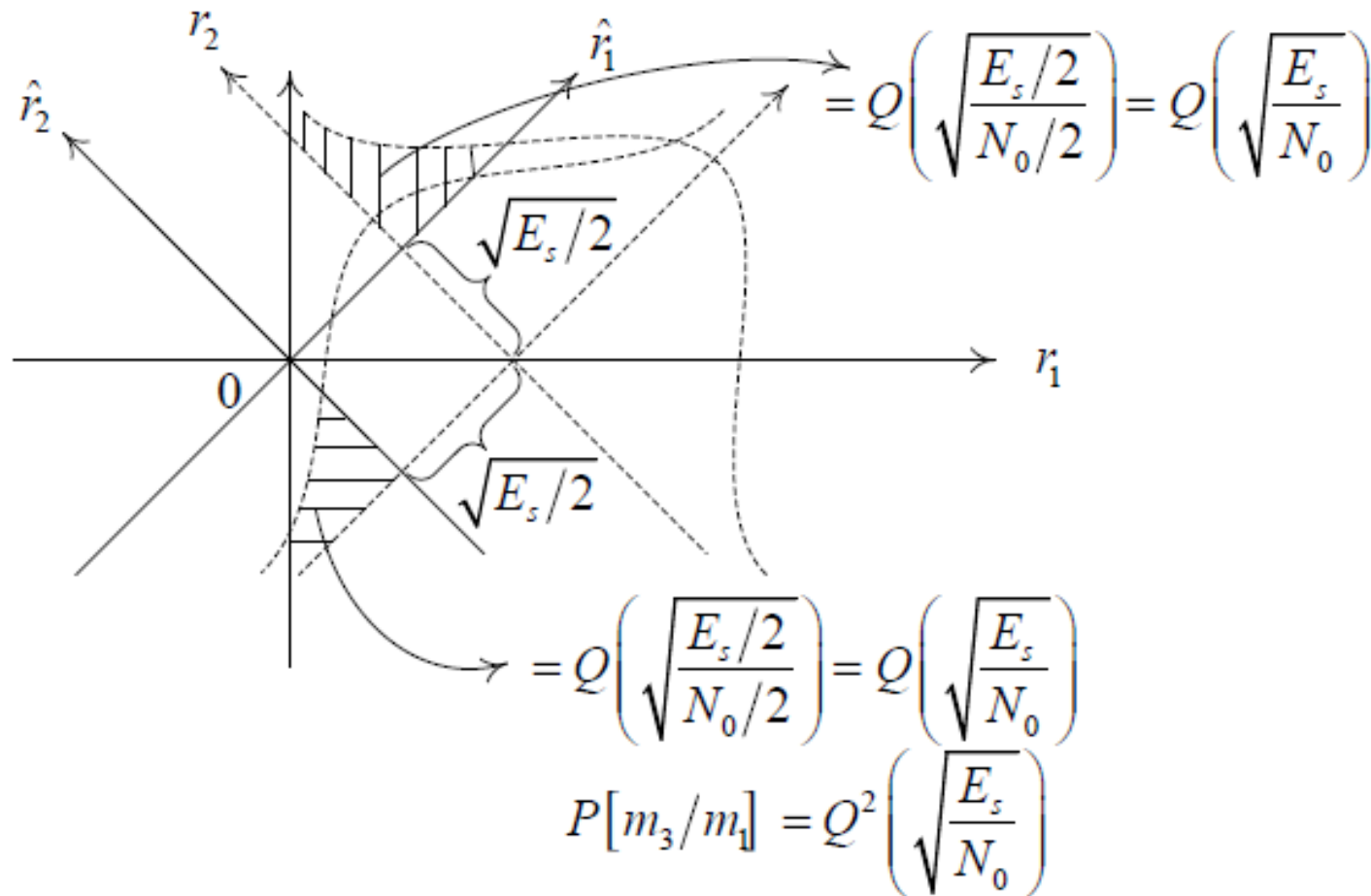
QPSK/Βέλτιστος Δέκτης



QPSK/Βέλτιστος Δέκτης

$$P[m_3|m_1]$$

$$f(\hat{r}_2, \hat{r}_1|m_1)$$



QPSK/BPSK

Για μια δίκαιη σύγκριση με την επίδοση μια δυαδικής διαμόρφωσης πρέπει να εκφράσουμε την πιθανότητα εσφαλμένου ψηφίου συναρτήσει του ενέργειας ψηφίου E_b , (μέση ενέργεια ανά *bit*)

Εφόσον το σήμα QPSK μεταφέρει 2 bits και η ενέργεια ανά σήμα είναι $E_s = V^2 T_b$, the average energy per bit is $E_b = E_s/2 = V^2 T_b/2$.

Η πιθανότητα εσφαλμένου ψηφίου QPSK με Gray mapping είναι

$$P[\text{bit error}] = Q\left(\sqrt{\frac{2E_b}{N_0}}\right)$$

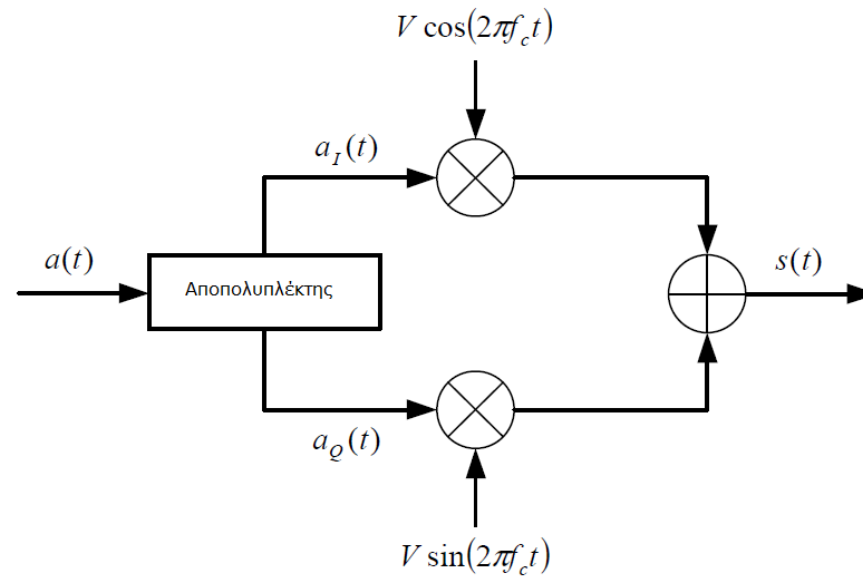
που είναι ακριβώς ή ίδια με την BPSK.

Αυτό καθαρά αποδεικνύει το πλεονέκτημα της QPSK έναντι της BPSK. Με την QPSK διαμόρφωση διπλασιάζεται ο ρυθμός χωρίς να απαιτούμε περισσότερο εύρος ζώνης ή να θυσιάζουμε επίδοση σε εσφαλμένα ψηφία.

Μπορούμε να το πούμε και ως εξής, για να μεταφέρουν τον ίδιο ρυθμό μετάδοσης BPSK & QPSK στην ίδια πιθανότητα λάθους, η QPSK πρέπει να μειώσει στο μισό εύρος ό αυτό που χρειάζεται η BPSK.



QPSK/αλλιώς

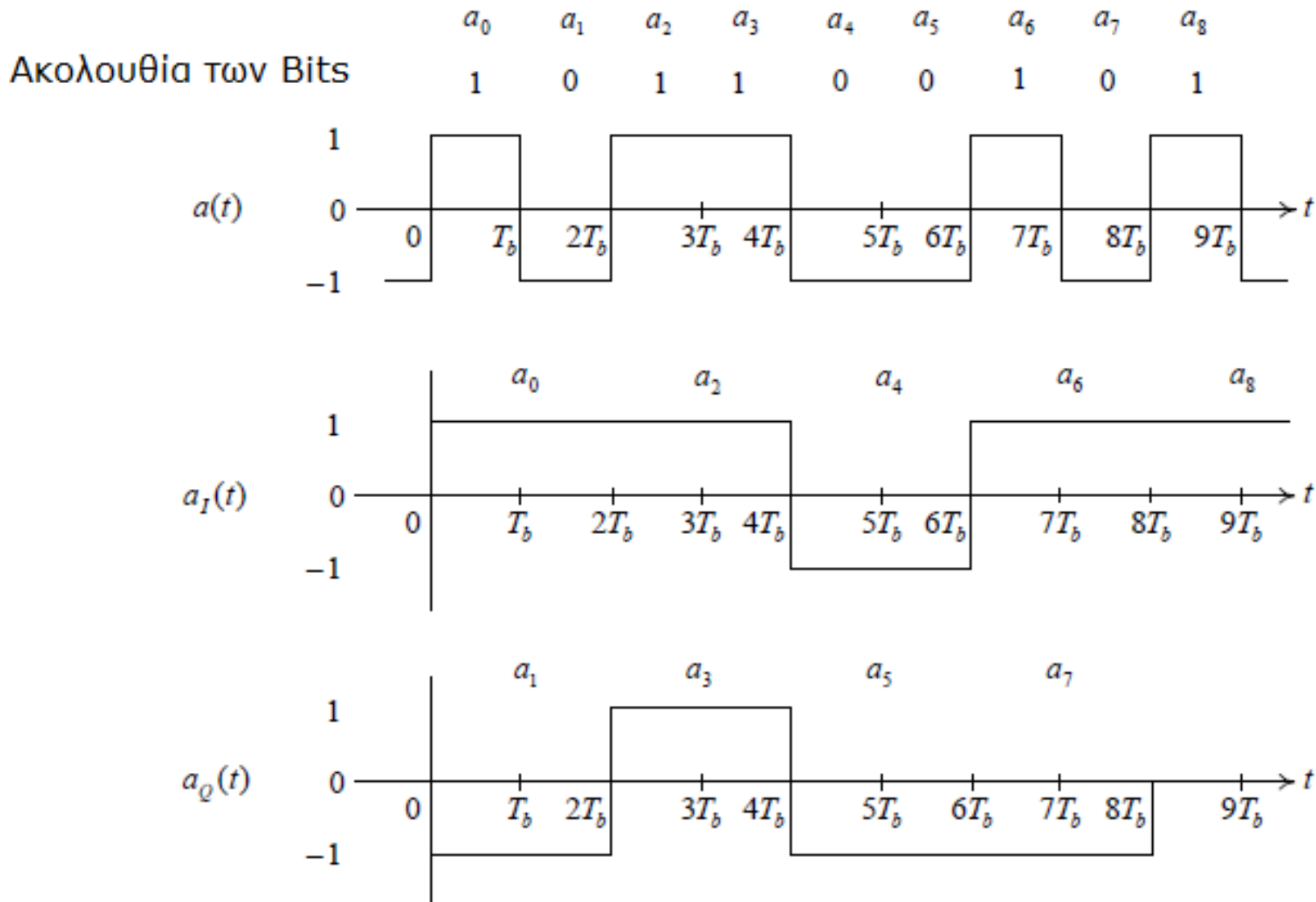


Η ακολουθία ψηφίων πληροφορίας μετατρέπονται πρώτα σε NRZ-L κυματομορφή με $a(t)$ με ± 1 επίπεδα. Η κυματομορφή $a(t)$ από-πολυπλέκεται: στα άρτια $a_I(t)$, και στα περιττά $a_Q(t)$ συμβολοακολουθίες bit streams φτιάχνονται I και Q για in phase & quadrature αντίστοιχα.

Τα individual bits σε κάθε stream δεσμεύουν $T_s = 2T_b$ και διαμορφώνουν το **in-phase φέρον, $V \cos(2\pi f_c t)$,** και στο **quadrature carrier, $V \sin(2\pi f_c t)$,** αντίστοιχα.



QPSK/αλλιώς



QPSK/αλλιώς

Το σήμα που μεταδίδεται μπορεί να γραφτεί:

$$s(t) = a_I(t)V \cos(2\pi f_c t) + a_Q(t)V \sin(2\pi f_c t),$$

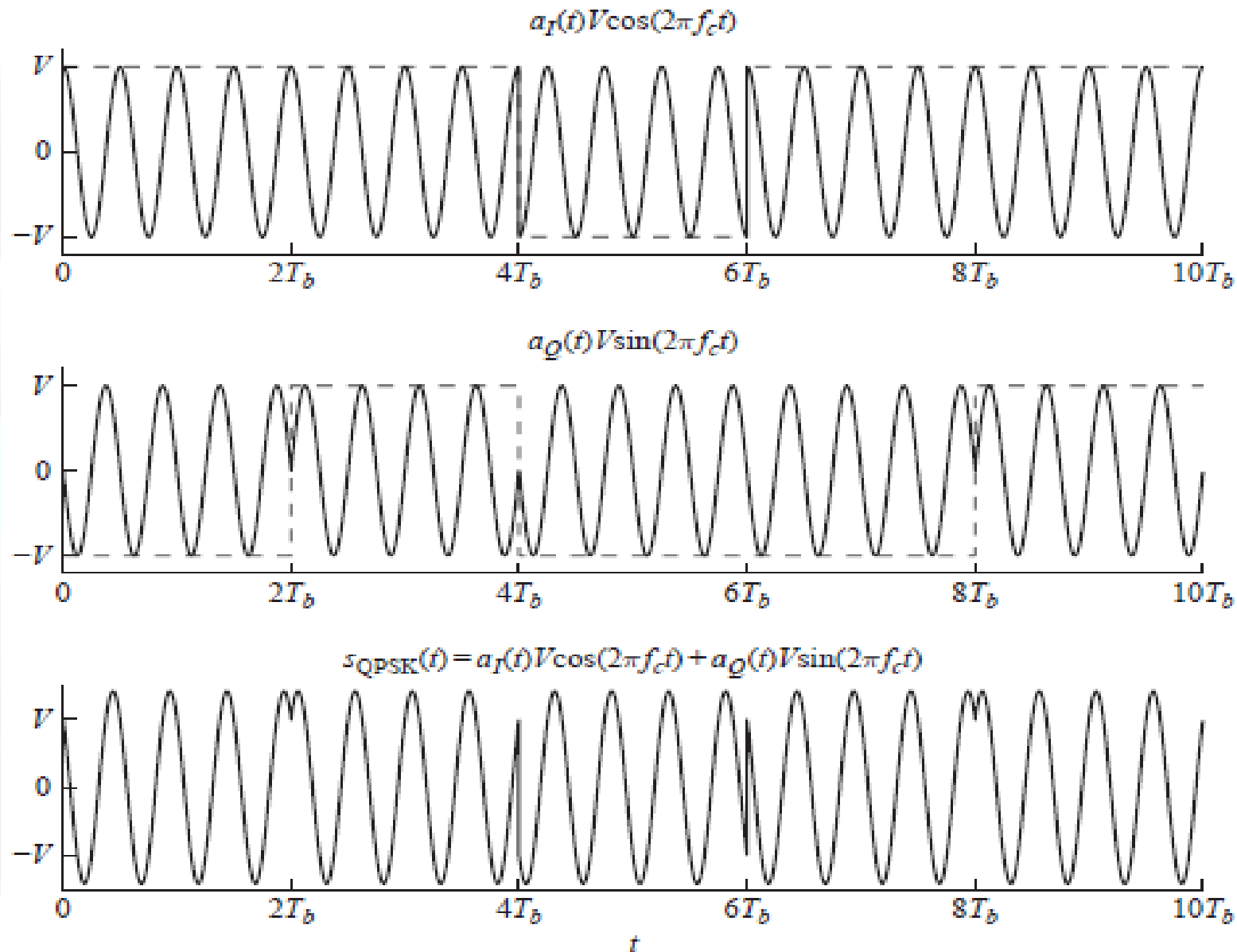
$$\begin{aligned} s(t) &= \sqrt{a_I^2(t) + a_Q^2(t)}V \cos\left(2\pi f_c t - \tan^{-1}\left(\frac{a_Q(t)}{a_I(t)}\right)\right) \\ &= \sqrt{2}V \cos[2\pi f_c t - \theta(t)], \end{aligned}$$

$$\theta(t) = \begin{cases} \pi/4, & a_I = +1, a_Q = +1 \text{ (bits 11)} \\ -\pi/4, & a_I = +1, a_Q = -1 \text{ (bits 10)} \\ 3\pi/4, & a_I = -1, a_Q = +1 \text{ (bits 01)} \\ -3\pi/4, & a_I = -1, a_Q = -1 \text{ (bits 00)} \end{cases}$$

Απεικόνιση
Gray Mapping

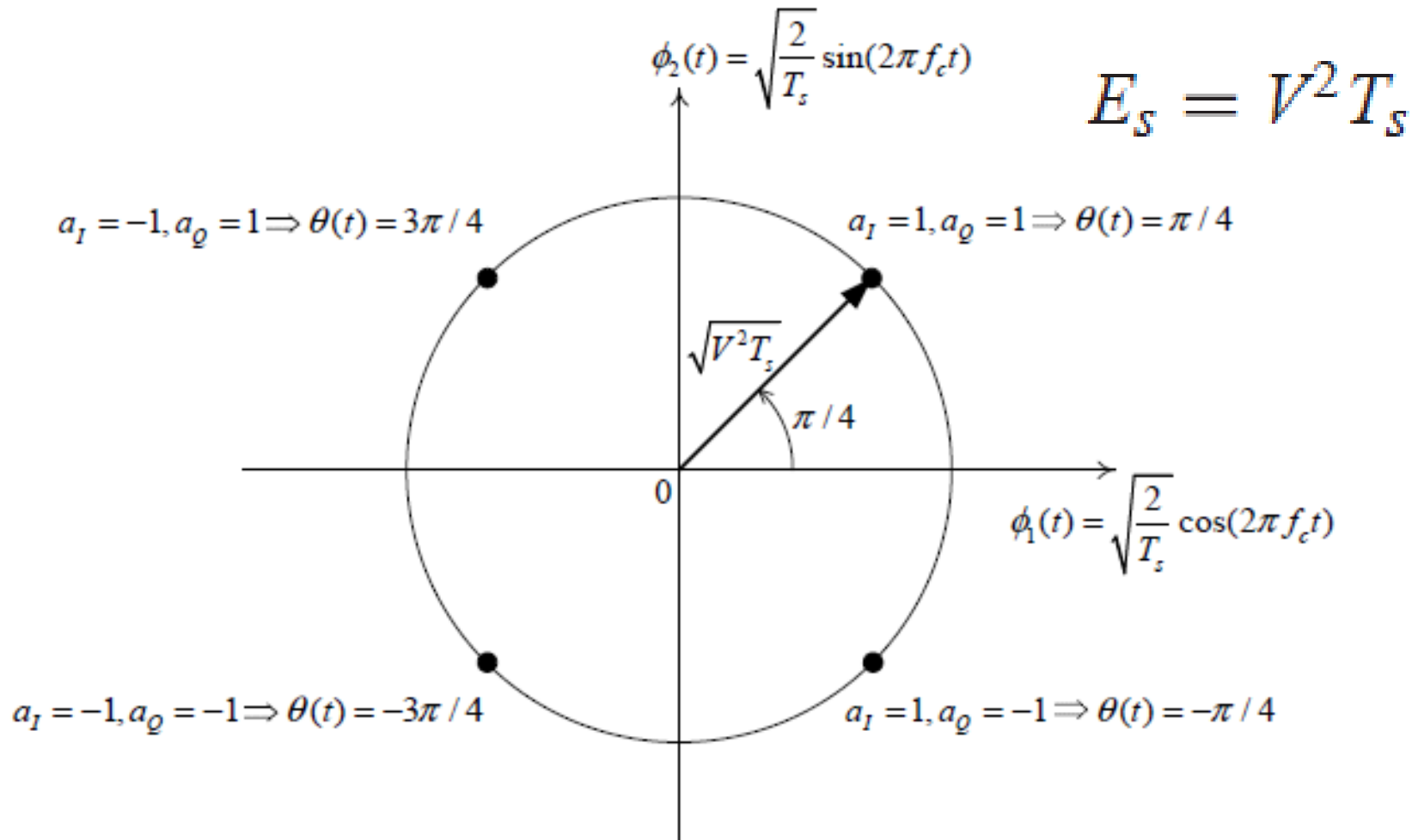


QPSK/αλλιώς

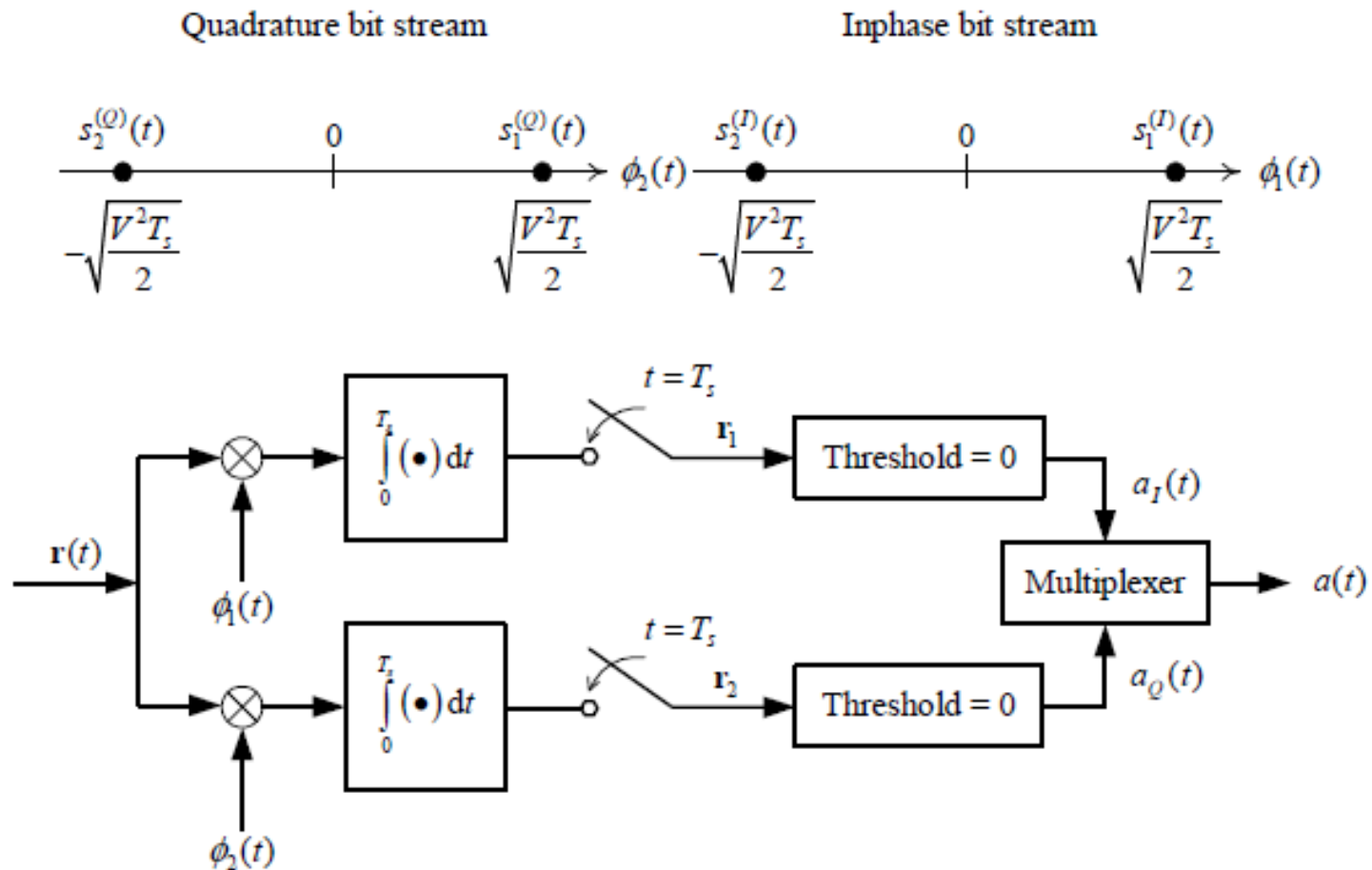


QPSK/αλλιώς

$$\begin{cases} \phi_1(t) = \frac{V \cos(2\pi f_c t)}{\sqrt{V^2 T_b}} \\ \phi_2(t) = \frac{V \sin(2\pi f_c t)}{\sqrt{V^2 T_b}} \end{cases}, \quad 0 < t < T_s = 2T_b,$$

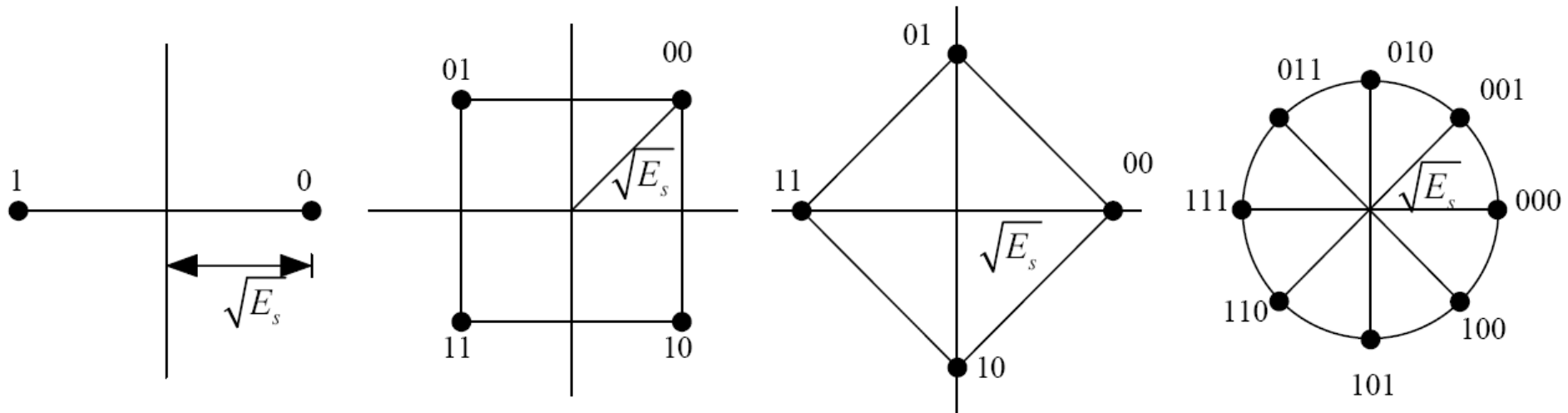


QPSK/αλλιώς

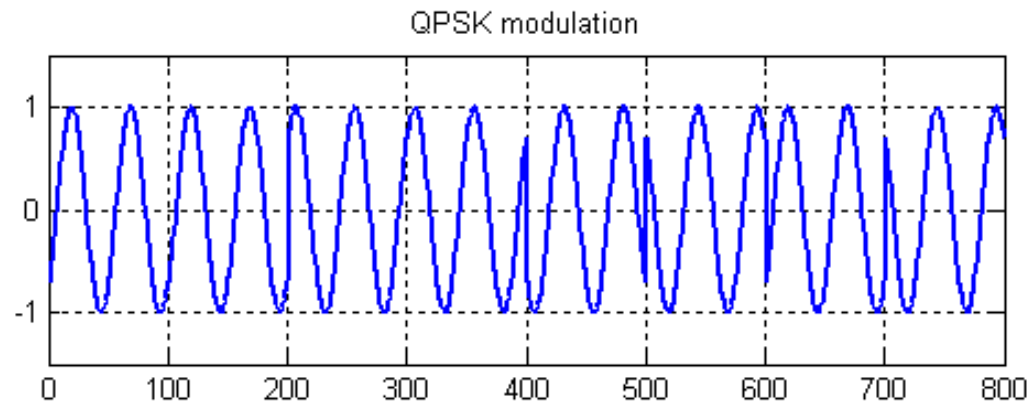


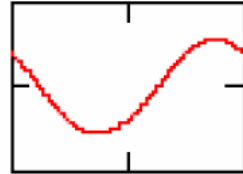
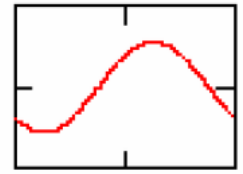
$$P[\text{bit error}] = Q \left(\sqrt{\frac{V^2 T_s}{N_0}} \right) = \dots = Q \left(\sqrt{\frac{2E_b}{N_0}} \right).$$

QPSK/8-PSK

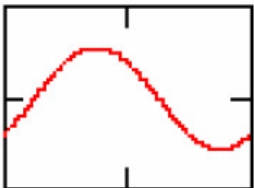
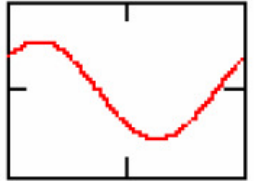


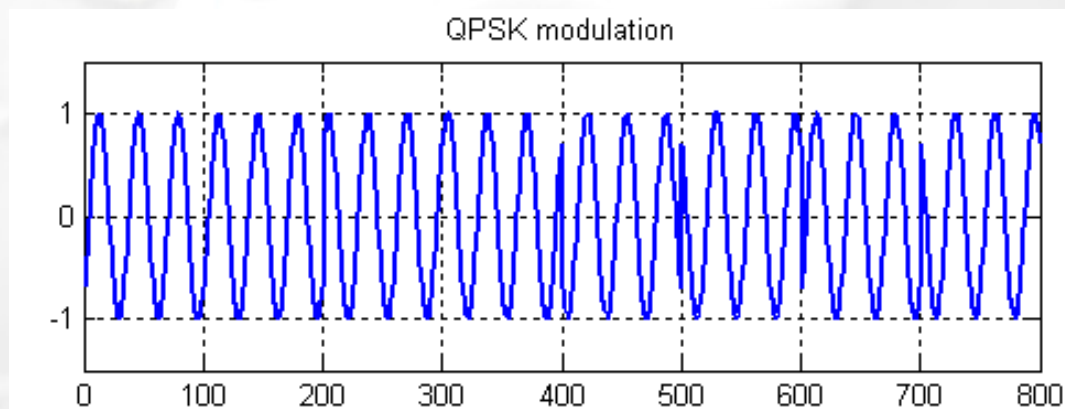
QPSK



Σύμβολα	Bits	$S(t)$	Φάση	Κυματομορφή	I	Q
s_1	00	$\sqrt{\frac{2E_s}{T}} \cos(2\pi f_c t + \pi/4)$	45°		1	1
s_2	01	$\sqrt{\frac{2E_s}{T}} \cos(2\pi f_c t + 3\pi/4)$	135°		-1	1

QPSK/M-PSK

Σύμβολα	Bits	S(t)	Φάση	Κυματομορφή	I	Q
s_3	11	$\sqrt{\frac{2E_s}{T}} \cos(2\pi f_c t + 5\pi / 4)$	225°		-1	-1
s_4	10	$\sqrt{\frac{2E_s}{T}} \cos(2\pi f_c t + 7\pi / 4)$	315°		1	-1



MPSK/8-PSK

$$s_i(t) = V \cos \left[2\pi f_c t - \frac{(i-1)2\pi}{M} \right], \quad 0 \leq t \leq T_s,$$

$$i = 1, 2, \dots, M; \quad f_c = k/T_s, \quad k \text{ integer}; \quad E_s = V^2 T_s / 2 \text{ joules}$$

$$s_i(t) = V \cos \left[\frac{(i-1)2\pi}{M} \right] \cos(2\pi f_c t) + V \sin \left[\frac{(i-1)2\pi}{M} \right] \sin(2\pi f_c t).$$

$$\phi_1(t) = \frac{V \cos(2\pi f_c t)}{\sqrt{E_s}}, \quad \phi_2(t) = \frac{V \sin(2\pi f_c t)}{\sqrt{E_s}}.$$

$$s_{i1} = \sqrt{E_s} \cos \left[\frac{(i-1)2\pi}{M} \right], \quad s_{i2} = \sqrt{E_s} \sin \left[\frac{(i-1)2\pi}{M} \right].$$

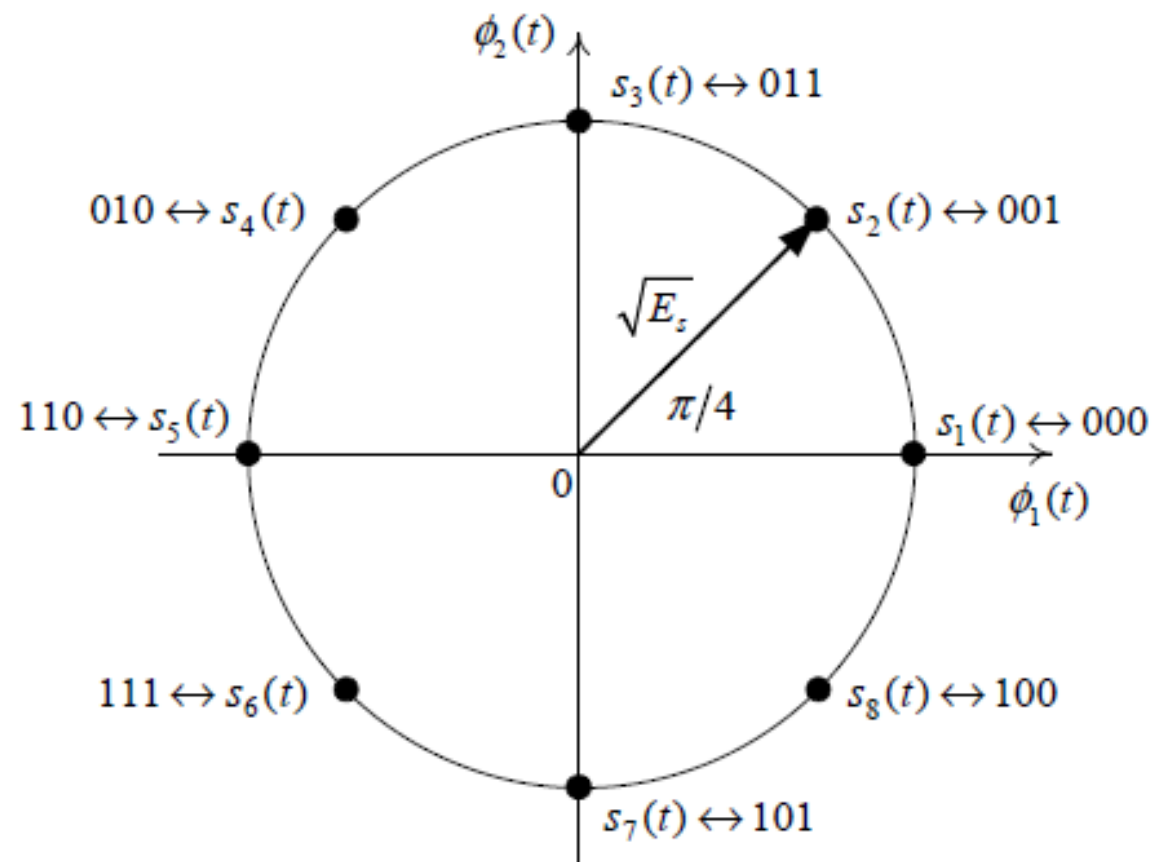
Τα σήματα βρίσκονται πάνω σε ένα κύκλο ακτίνας $\sqrt{E_s}$ απέχουν $2\pi/M$ ακτίνια γύρω από τον κύκλο.



MPSK/8-PSK

$$s_i(t) = V \cos \left[2\pi f_c t - \frac{(i-1)2\pi}{M} \right], \quad 0 \leq t \leq T_s,$$

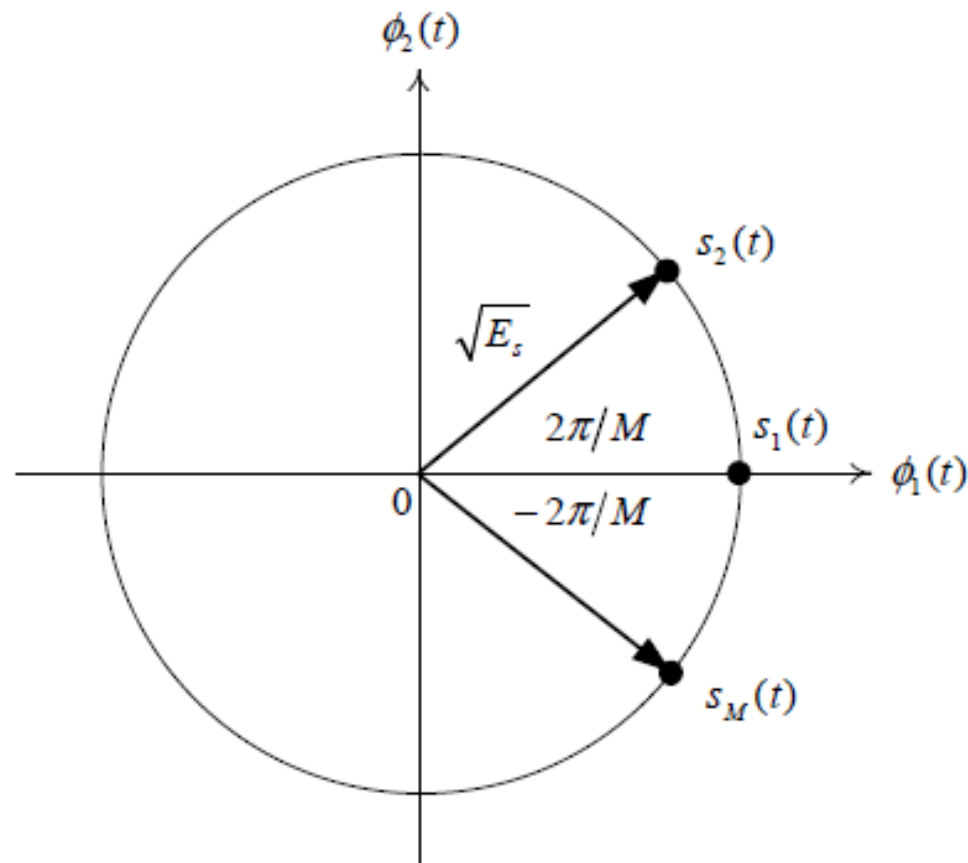
$i = 1, 2, \dots, M$; $f_c = k/T_s$, k integer; $E_s = V^2 T_s / 2$ joules



MPSK/8-PSK

$$s_i(t) = V \cos \left[2\pi f_c t - \frac{(i-1)2\pi}{M} \right], \quad 0 \leq t \leq T_s,$$

$i = 1, 2, \dots, M$; $f_c = k/T_s$, k integer; $E_s = V^2 T_s / 2$ joules



Q&A



E-mail: thpanag@ece.ntua.gr
Παλ. Κτίρια Ηλ/γων Γρ. 3.2.9
Τηλ.: 2107723842